

**MINISTERSTVO ŽIVOTNÉHO PROSTREDIA SLOVENSKEJ REPUBLIKY**

**ŠTÁTNY GEOLOGICKÝ ÚSTAV DIONÝZA ŠTÚRA**



### **Podsystém 05**

### **Monitoring objemovej aktivity radónu v geologickom prostredí na území Slovenskej republiky**

### **Správa za rok 2020**

Názov geologickej úlohy: **Čiastkový monitorovací systém – geologické faktory**

Číslo geologickej úlohy: **207**

Zodpovedný riešiteľ geologickej úlohy: **RNDr. Peter Ondrus**

Riešiteľ podsystému 05: **RNDr. Igor Zeman**

Spolupracoval: **RNDr. Augustín Gluch**

Zástupca zhotoviteľa: **RNDr. Pavel Liščák, CSc.**

Štatutárny zástupca: **RNDr. Igor Slaninka, PhD.  
generálny riaditeľ ŠGÚDŠ**

Bratislava september 2021



### **Zoznam obrázkov:**

- Obr. č. 1** - Situačná schéma objektov monitorovaných v roku 2020
- Obr. č. 2** - Pôdny radón: monitorovanie objemovej aktivity radónu (OAR) v rokoch 2002 – 2020; Lokalita: Novoveská Huta a Novoveská Huta II.
- Obr. č. 3** - Pôdny radón: monitorovanie objemovej aktivity radónu (OAR) v rokoch 2002 – 2020; Lokalita: Teplička
- Obr. č. 4** - Pôdny radón: monitorovanie objemovej aktivity radónu (OAR) v rokoch 2002 – 2020; Lokality: Hnilec, Bratislava – Vajnory, Banská Bystrica – Podlavice
- Obr. č. 5** - Pôdny radón nad zlomom – detailizácia anomálie OAR  
Lokalita: Dobrá Voda, plochy D1 (rok 2019) a D1.1 (rok 2020)
- Obr. č. 6** - Radón vo vodách: monitorovanie objemovej aktivity radónu v rokoch 2002 – 2020; Lokalita: Spišské Podhradie, prameň sv. Ondreja
- Obr. č. 7** - Radón vo vodách: monitorovanie objemovej aktivity radónu v rokoch 2002 – 2020; Lokalita: Bacúch, prameň Boženy Němcovej
- Obr. č. 8** - Radón vo vodách: monitorovanie objemovej aktivity radónu v rokoch 2002 – 2020; Lokality: Malé Karpaty - pramene Mária, Himligárka, Zbojníčka; Oravice – pramenisko Jaštercie

### **Zoznam tabuliek:**

- Tab. č. 1** - Stanovenie kategórie radónového rizika referenčnej plochy
- Tab. č. 2** - Stanovenie plynopriepustnosti pôd
- Tab. č. 3** - Štatistické spracovanie meraní objemovej aktivity radónu v pôdnom vzduchu na referenčných plochách
- Tab. č. 4** - Objemová aktivita radónu v podzemných vodách
- Tab. č. 5** - Štatistické spracovanie meraní objemovej aktivity radónu v podzemných vodách za obdobie 2002 – 2020
- Tab. č. 6** - Vývoj hodnôt objemovej aktivity radónu (OAR) v pôdnom vzduchu a v podzemných vodách za obdobie 2002 – 2020



## **OBSAH**

|  |    |
|--|----|
| Zoznam obrázkov a tabuliek               | 3  |
| Obsah                                    | 5  |
| 1. Úvod                                  | 7  |
| 2. Metodika prác                         | 8  |
| 3. Prehľad a výsledky realizovaných prác | 12 |
| 3.1 Pôdny radón na referenčných plochách | 12 |
| 3.2 Pôdny radón na tektonike             | 25 |
| 3.3 Radón vo vodách                      | 28 |
| 4. Závery a odporúčania                  | 45 |
| 5. Literatúra                            | 51 |



## 1. ÚVOD

V prostredí okolo nás je veľa druhov žiarenia. Odhalovanie poznatkov o prírodnej, ale aj umelej (vyvolanej) rádioaktivite však bolo desaťročia potláčané. Urán bol a stále je strategickou surovinou pre jadrový (zbrojný, energetický) priemysel a výsledky prieskumu i vedec-kého výskumu z tejto oblasti sa (najmä v období tzv. „studenej vojny“) prísne utajovali. Zdravotné riziká a dopady na obyvateľstvo sa zväčša zamlčiavalí a zjednodušovali tvrdením, že radón a dcérskie produkty jeho nukleárneho rozpadu bezprostredne ohrozujú len baníkov v uránových baniach.

Obavy a pozornosť verejnosti sú dlhodobo zamerané prevažne na umelé zdroje žiarenia (nukleárne zbrane, jadrová energetika, zdravotníctvo, atď.), pričom väčšina obyvateľstva ani netuší, že najvýznamnejšie ožiarenie (mimo období po jadrových pokusoch, haváriách a pod.) spôsobujú práve prírodné zdroje.

Vplyvmi expozície radónom sa v zahraničí zaoberajú viaceré renomované inštitúcie (napr. UNSCEAR – *United Nations Scientific Committee on the Effects of Atomic Radiation*, ICRP – *International Commission on Radiological Protection*), ale aj ďalšie organizácie a vedecké pracoviská, z výskumov ktorých vyplýva, že prírodné zdroje rádioaktívneho žiarenia prispievajú takmer troma štvrtinami (73 %) k celkovej radiačnej záťaži populácie.

Najvýznamnejším zdrojom prírodného žiarenia je radón ( $^{222}\text{Rn}$ ) a rádionuklidy ( $^{218}\text{Po}$ ,  $^{214}\text{Po}$ ,  $^{210}\text{Tl}$ ,  $^{210}\text{Po}$ , atď.) vznikajúce pri jeho nukleárnom rozpade. Tieto sú adsorbované dýchaním do plúc, kde dochádza ku kontaktnému ožarovaniu buniek plúcneho tkaniva. To môže v konečnom dôsledku viest' až k vzniku karcinómu plúc.

Rôznymi štúdiami bolo preukázané, že pravdepodobnosť vzniku karcinómu plúc sa zväčšuje s narastajúcou koncentráciou radónu a jeho rozpadových produktov, ale aj dĺžkou expozície. Skutočnosť, že radón je po fajčení druhou najvýznamnejšou príčinou rakoviny plúc, uznala aj Svetová zdravotnícka organizácia a v roku 2009 ho klasifikovala ako karcinogén triedy 1A.

Výsledky novších štúdií preukázali, že expozícia radónom má za následok aj ďalšie formy zdravotného poškodenia, ako sú choroby cievneho a tráviaceho ústrojenstva. Pravdepodobnosť zdravotného poškodenia je tak výrazne vyššia, ako sa pôvodne predpokladalo.

Tieto skutočnosti viedli Európsku komisiu (EC), Medzinárodnú komisiu pre radiačnú ochranu (ICRP) a Svetovú zdravotnícku organizáciu (WHO) k prehodnoteniu zdravotného rizika z expozície radónom.

Európska komisia zadefinovala aj nové požiadavky na zvýšenie ochrany obyvateľstva

pred nepriaznivými účinkami ionizujúceho žiarenia – spracovanie legislatívy zameranej na ochranu obyvateľstva a zavádzanie radónových programov, v ktorých informovanosť obyvateľstva patrí medzi priority.

Pri neustále sa zhoršujúcich environmentálnych podmienkach je preto dôležitá aj radiačná ochrana, a to hlavne pred vnútorným ožarovaním prírodnými rádionuklidmi, nakoľko radón a dcérske produkty jeho rozpadu sa na radiačnej expozícii podieľajú v najväčšom rozsahu. Pre objektívne prognózovanie jeho výskytu, šírenia, koncentrácií, krátkodobých i dlhodobých variácií atď., je ich monitorovanie v geologickom prostredí dôležité a opodstatnené.

Hlavným zdrojom prírodného radónu je geologické prostredie, a preto je cieľom monitoringu zdokumentovať a komplexne zhodnotiť krátkodobé (sezónne), ale i dlhodobé (rádovo až desiatky rokov) variácie koncentrácií radónu v horninovom prostredí a v podzemných vodách.

Súbor geofyzikálnych prác a činností, realizovaných v podsystéme 05 (*Monitoring objemovej aktivity radónu v geologickom prostredí na území Slovenskej republiky*) v sezóne 2020, predstavoval opakované vzorkovania a merania objemovej aktivity radónu (OAR) v terénnych aj laboratórnych podmienkach na celkom 12-tich lokalitách: päť lokalít pre pôdny radón na referenčných plochách (RP), jeden objekt nad tektonikou a šesť objektov pre radón v podzemných vodách na území Slovenska, vrátane ich komplexného spracovania, vyhodnotenia, porovnania výsledkov s predchádzajúcimi obdobiami, vypracovania hodnotiacich ročných správ (textová, tabuľková a grafická časť), aktualizovania výsledných databáz, atď.

## 2. METODIKA PRÁC

Prírodné rádionuklidy a produkty ich jadrového rozpadu sú permanentne prítomné vo všetkých zložkách životného prostredia, t.j. v horninách, vodách i v ovzduší. Radón  $^{222}\text{Rn}$  (zdroj alfa žiarenia s polčasom rozpadu 3,825 dňa) je inertný prírodný rádioaktívny plyn, vznikajúci samovoľným rozpadom rádia  $^{226}\text{Ra}$  (zdroj alfa a gama žiarenia) v rozpadovom rade uránu  $^{238}\text{U}$  a patrí medzi tzv. vzácné plyny.

Radón má vyššiu hustotu než vzduch (je najťažším plynom v prírode), je dobre rozpustný vo vode (až 51 % svojho objemu) a ešte lepšie v organických kvapalinách (ropa, olej), je bez farby, chuti a zápachu.

Dobre sa adsorbuje na uhlie (ale aj na parafín a kaučuk) a v prírodnom prostredí napr. na íly. Rozpustnosť aj adsorbcia radónu rastie s poklesom teploty prostredia.

Radón pomerne ľahko preniká cez horninové prostredie difúznym a konvekčným

prúdením. Hlavným zdrojom prírodného radónu sú niektoré minerály a horniny, ale aj podzemné vody, prechádzajúce horninami so zvýšeným obsahom uránu. Vzhľadom na polčas rozpadu materských prvkov ( $^{238}\text{U}$  ~ 4,5 mld. rokov,  $^{226}\text{Ra}$  ~ 1600 rokov) je z geologického prostredia zaistený jeho trvalý prísun.

Radón má výraznú migračnú vlastnosť a jeho obsah v pôdnom vzduchu i vo vodách nie sú stabilné. Závisia nielen od koncentrácií rádia v hornine, ale aj od ďalších faktorov ovplyvňujúcich jeho šírenie (meteorologické podmienky – vlhkosť, teplota, tlak, rýchlosť vetra; plynopriepustnosť – porozita, tektonické porušenie hornín a pod.).

Cieľom monitorovacích prác v predmetnej časti projektu je sledovanie zmien koncentrácií radónu, ich celkové vyhodnotenie a posúdenie možných vplyvov.

Monitorovanie objemovej aktivity radónu (OAR) v pôdnom vzduchu a v zdrojoch podzemných vód bolo zamerané do oblastí s potvrdeným výskytom zvýšeného (stredného a vysokého; tab. č. 1) radónového rizika. Pri výbere lokalít sa vychádzalo z výsledkov hodnotenia starších prieskumných prác, zaobrajúcich sa problematikou prírodnej rádioaktivity, s cieľom zdokumentovať zmeny resp. variácie obsahov radónu v rôznych geologických jednotkách.

Tab. č. 1 Stanovenie radónového indexu referenčnej plochy (podľa Vyhlášky č. 98/2018 Z. z.).

| RADÓNOVÝ<br>INDEX<br>POZEMKU | OBJEMOVÁ AKTIVITA RADÓNU $\text{c}_\text{A}$ [ $\text{kBq.m}^{-3}$ ] |                                  |                                  |
|------------------------------|--|----------------------------------|----------------------------------|
|                              | Plynová priepustnosť pôd   |                                  |                                  |
|                              | nízka  | stredná                          | vysoká                           |
| nízky                        | $\text{c}_\text{A} < 30$   | $\text{c}_\text{A} < 20$         | $\text{c}_\text{A} < 10$         |
| stredný                      | $30 \leq \text{c}_\text{A} < 100$                                    | $20 \leq \text{c}_\text{A} < 70$ | $10 \leq \text{c}_\text{A} < 30$ |
| vysoký                       | $\text{c}_\text{A} \geq 100$   | $\text{c}_\text{A} \geq 70$      | $\text{c}_\text{A} \geq 30$      |

Radón v pôdnom vzduchu je na každej lokalite monitorovaný v rámci referenčnej plochy, ktorú tvoria jednotlivé body (sondy pre odber vzoriek pôdneho vzduchu) usporiadane v profiloch, resp. v nepravidelnej sieti. Základný počet bodov v rámci RP je 17 sond (16 sond základného merania plus jedna kontrolná sonda), t.j. minimálny štatistický súbor pre zhodnotenie radónového indexu RP pri každom monitorovaní. Pozícia jednotlivých bodov v rámci RP pri opakovanych monitorovacích prácach je porovnatelná.

Referenčné plochy (objekty) sú monitorované minimálne dvakrát ročne. Tri objekty sú monitorované s vyššou frekvenciou (4 až 7 monitorovaní) za účelom lepšieho posúdenia vplyvov meteorologických procesov v období apríl až október.

Pôdny vzduch pre stanovenie OAR sa odoberá cez ručne zatíkané sondy, ktoré sa po

dosiahnutí hĺbky cca 0,8 m utesnia, zo sondy sa odsaje atmosférický vzduch a vzorka pôdneho vzduchu sa nasaje do deemanovanej a evakuovanej scintilačnej Lucasovej komory (LK) o objeme 125 ml.

Lucasova komora je kalibrovaný scintilačný detektor, ktorý sa po napustení pôdnym vzduchom transportuje na meranie a stanovenie OAR v laboratórnych podmienkach. Pri odberu pôdneho radónu sa do terénneho zápisníka (okrem údajov nevyhnutných pre výpočet OAR) zaznamenávajú aj ďalšie doplňujúce údaje: počasie, zrážky, atmosférický tlak, kvalitatívne posúdenie vlhkosti pokryvu RP, obtiažnosť hĺbenia sond a odberu pôdneho vzduchu, ...

Objemová aktivita radónu zdrojov podzemných vôd je sledovaná na známych a turisticky bežne dostupných prameňoch. Vzorky pre stanovenie objemovej aktivity  $^{222}\text{Rn}$  vo vode sú odoberané do sklenených vzorkovníc so zabrúseným hrdlom, doplna (objem cca 300 ml), bez vzduchovej bubliny. Pri odberu vzorky vody je meraná okamžitá teplota vody a vzduchu, výdatnosť prameňa, atmosférický tlak, meteorologické podmienky pri odberu, vrátane ďalších údajov potrebných k výpočtu OAR.

V laboratórnych podmienkach je radón z každej vzorkovnice prebublaný cez premývačku do štyroch deemanovaných a evakuovaných LK o objeme 600 ml, ktoré sa následne merajú kalibrovaným meracím zariadením metodikou zhodnou s meraním objemovej aktivity radónu v pôdnom vzduchu.

Za účelom vylúčenia náhodnej chyby sa odoberajú vždy štyri vzorky, pričom výsledným obsahom radónu pre daný odber je stredná hodnota z meraní prvých dvoch vzoriek. Tretia vzorka býva analyzovaná v prípade, ak rozdiel dvojice meraných vzoriek prekročí 10 %. Štvrtá vzorka slúži ako bezpečnostná rezerva pre nepredvídateľné situácie.

Na postup rádiometrických meraní a hodnotenie radónu v geologickom prostredí sa vzťahuje schválená metodika. Spôsob stanovenia objemovej aktivity radónu (OAR;  $\text{c}_\text{A}$ ) v pôdnom vzduchu a plynopriepustnosti základových pôd je v súlade s ustanoveniami Zákona č. 355/2007 Z.z. o ochrane, podpore a rozvoji verejného zdravia a v zmysle Zákona č. 87/2018 Z. z., ktorým sa stanovujú podrobnosti o radiačnej ochrane.

Pri meraní OAR sa používajú kalibrované meracie zariadenie typu LUK-4A, resp. LUK 3R, využívajúce princíp scintilačnej detekcie alfa častíc v Lucasovych komorách.

Merania odobratých vzoriek zmesi plynov v LK sú realizované v laboratórnych podmienkach najskôr 3,5 hod. (210 minút) po ich napustení, t.j. po dosiahnutí stavu rádioaktívnej rovnováhy medzi radónom a dcérskymi produktami jeho rozpadu.

**Objemová aktívita radónu v pôdnom vzduchu  $c_A$** , sa počíta podľa vzťahu:

$$c_A = (N_v - N_p) / k \cdot V \cdot R(t_v, t_r) ; [kBq \cdot m^{-3}]$$

- kde :   
 N<sub>v</sub> - nameraný počet impulzov vzorky pôdneho vzduchu za čas t<sub>v</sub>  
 N<sub>p</sub> - nameraný počet impulzov pozadia za čas t<sub>v</sub>  
 k - koeficient účinnosti merania stanovený pri kalibrácii aparátury  
 V - objem vzorky pôdneho vzduchu v LK v litroch  
 R(t<sub>v</sub>, t<sub>r</sub>) - korekčný faktor zohľadňujúci rádioaktívnu premenu od odberu vzorky po koniec merania a zároveň aj stav posuvnej rádioaktívnej rovnováhy medzi <sup>222</sup>Rn a jeho dcérskymi produktmi rozpadu v LK. Pri meraní (3,5 hod. po napustení LK) je dosiahnutý stav rádioaktívnej rovnováhy medzi radónom a jeho dcérskymi produktmi. Zanedbaním poklesu aktivity radónu v priebehu merania (t<sub>v</sub>), môžeme dostatočne presne pre t<sub>r</sub> ≥ 210 min a ľubovoľné t<sub>v</sub> určiť R(t<sub>v</sub>, t<sub>r</sub>) zo vzťahu: R(t<sub>v</sub>, t<sub>r</sub>) = 3 · t<sub>v</sub> · e<sup>-λt\_r</sup> (sec)  
 t<sub>v</sub> - čas merania vzorky pôdneho vzduchu v LK v sekundách  
 t<sub>r</sub> - doba od napustenia vzorky pôdneho vzduchu do LK do začiatku merania v minútach  
 λ - rozpadová konštantă <sup>222</sup>Rn (0,0001258437 min<sup>-1</sup>)

Radónový index referenčnej plochy je hodnotený v zmysle *Vyhľášky č. 98/2018 Z.z* kde sú stanovené hranice pre tri radónové indexy – nízky, stredný a vysoký – na základe kvantitatívneho posúdenia nameranej objemovej aktivity radónu v pôdnom vzduchu a plynopriepustnosti zemín podľa tab. č. 1.

**Plynopriepustnosť miestnych zemín a hornín** sa pre každú referenčnú plochu určila skrátenou granulometrickou analýzou odobratej vzorky zeminy a to podľa percentuálneho podielu jemnozrnnej frakcie **f** (priemer častíc < 0,063 mm) v zmysle STN 72 1001 z 1. 4. 2010.

Tab. č. 2 Stanovenie plynopriepustnosti pôd

| Priepustnosť   | Podiel jemných častíc        | Trieda podľa STN 72 1001       |
|----------------|------------------------------|--------------------------------|
| <b>nízka</b>   | <b>f &gt; 65 %</b>           | F5, F6, F7, F8                 |
| <b>stredná</b> | <b>15 % &lt; f &lt; 65 %</b> | F1, F2, F3, F4, S4, S5, G4, G5 |
| <b>vysoká</b>  | <b>f &lt; 15 %</b>           | S1, S2, S3, G1, G2, G3         |

**Objemová aktívita radónu vo vode  $c_A$**  sa počíta podľa vzťahu:

$$c_A = (N_v - N_p) / k \cdot V_v \cdot R(t_v, t_r) \cdot e^{-\lambda t_F} ; [Bq \cdot l^{-1}]$$

- kde :   
 V<sub>v</sub> - objem vzorky vody v premývačke v litroch  
 $e^{-\lambda t_F} = F(t_F)$  - koeficient, vyjadrujúci pokles aktivity <sup>222</sup>Rn za dobu t<sub>F</sub> (doča od času odberu vzorky v teréne po čas naplnenia LK)

Ostatné položky sú vysvetlené pri vzťahu pre výpočet objemovej aktivity radónu v pôdnom vzduchu.

### **3. PREHĽAD A VÝSLEDKY REALIZOVANÝCH PRÁC**

Monitoring OAR v geologickom prostredí na území Slovenska bol v roku 2020 realizovaný v rovnakých oblastiach, ako v predchádzajúcich monitorovacích sezónach.

- pôdny radón na referenčných plochách,
- pôdny radón na tektonike,
- radón vo vodách.

Geografická situácia monitorovaných objektov je schematicky znázornená na obr. č. 1.

#### **3.1 Pôdny radón na referenčných plochách**

Monitoring OAR v pôdnom vzduchu na referenčných plochách (RP) bol v roku 2020 vykonávaný s rôznou frekvenciou na piatich lokalitách v strednom až vysokom (na lokalite RP Hnilec až v extrémne vysokom) radónovom riziku:

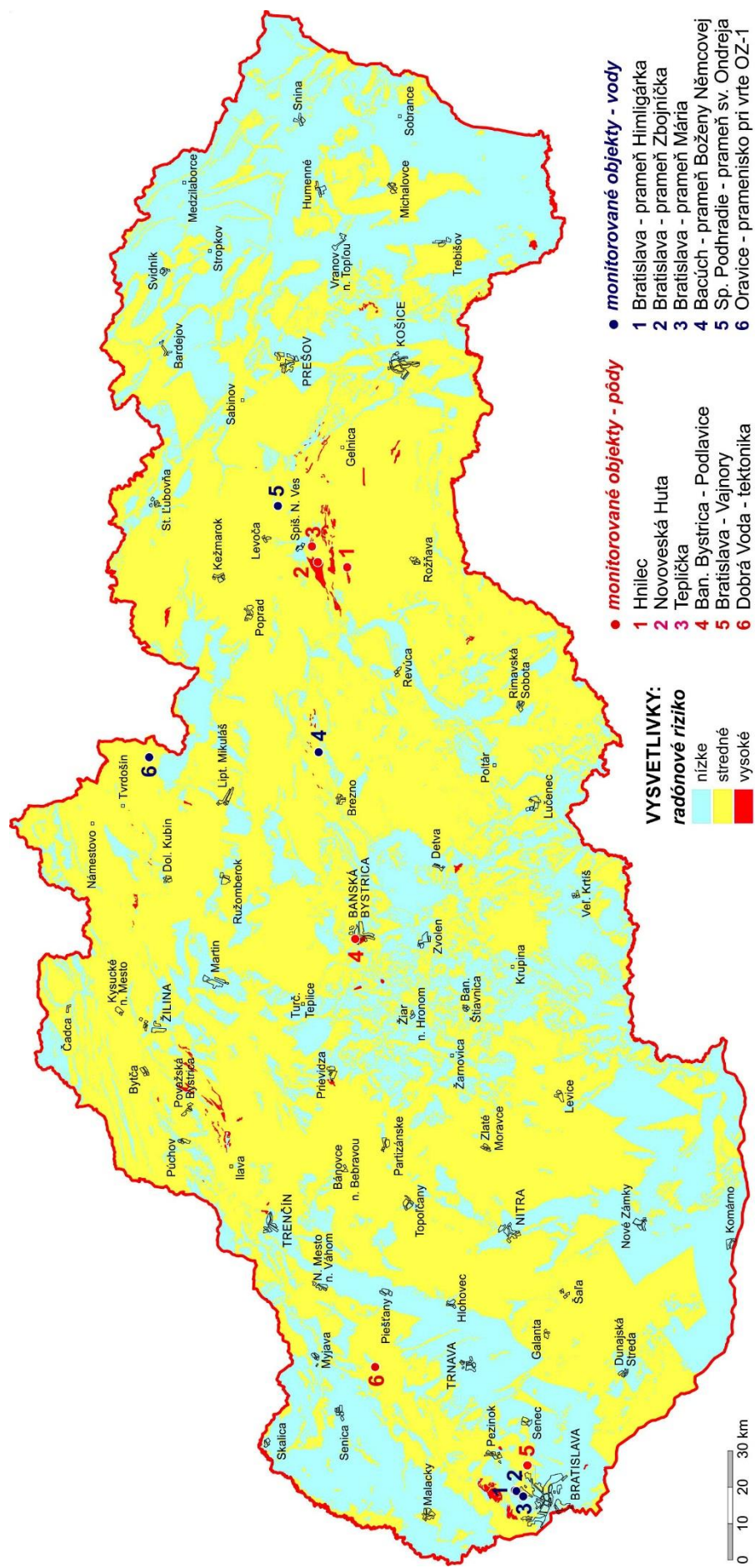
- |                                  |  |
|----------------------------------|--|
| ○ RP Hnilec                      | (4x ročne – apríl až október, každé dva mesiace) |
| ○ RP Novoveská Huta              | (7x ročne – apríl až október, každý mesiac)      |
| ○ RP Teplička                    | (7x ročne – apríl až október, každý mesiac)      |
| ○ Bratislava – RP Vajnory        | (2x ročne – máj a september)                     |
| ○ Banská Bystrica – RP Podlavice | (2x ročne – máj a september)                     |

**RP Hnilec**, nachádzajúca sa cca 2,1 km JJZ od centra rovnomennej obce pri štátnej ceste č. 533 Spišská Nová Ves – Gemerská Poloma, je charakteristická až extrémne vysokým radónovým rizikom. Zdrojom radónu je zvetraný stredno-hrubozrnný gemeridný (tzv. „hnilecký“) granit s anomálnymi obsahmi uránu (podľa terénnej spektrometrie gama ~ 20 ppm eU), ktorý tak radíme k horninám s najvyššou prírodnou rádioaktivitou v Západných Karpatoch.

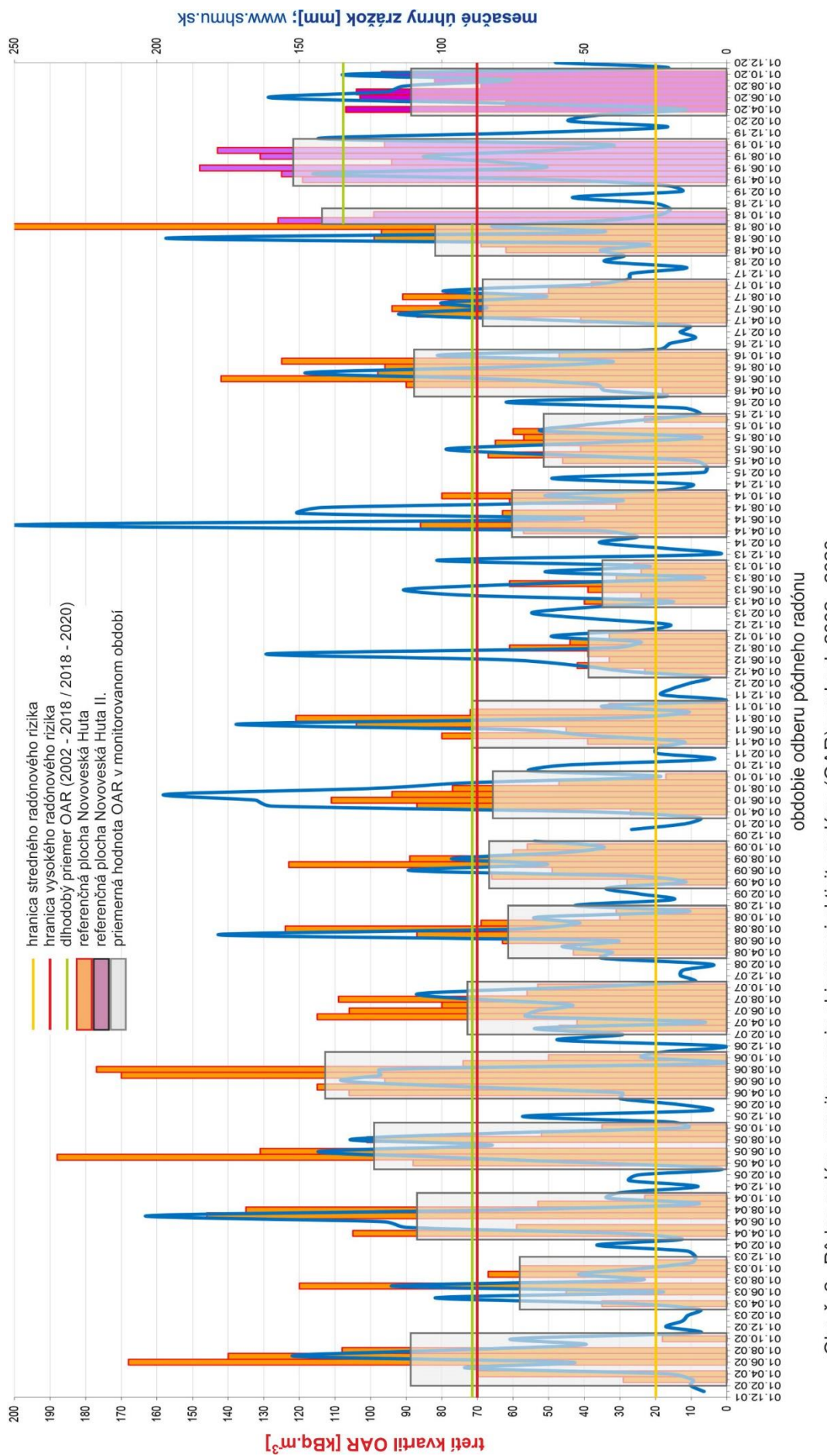
Monitoring OAR v sezóne 2020 tu bol zrealizovaný v období apríl až október (štyri monitorovania, spolu 68 odberov a meraní vzoriek pôdneho vzduchu).

Po doterajšom maxime z roku 2008 ( $712 \text{ kBq.m}^{-3}$ ) hodnoty  $\text{OAR}_{3.Q}$  (3. kvartil OAR) v pôdnom vzduchu na RP Hnilec v sezónach 2009 až 2013 vykazovali výrazný a systematický pokles (až na  $255 \text{ kBq.m}^{-3}$ ). V roku 2014 bol zaznamenaný nárast  $\text{OAR}_{3.Q}$  na  $359 \text{ kBq.m}^{-3}$ , ale v sezóne 2015 opäť pokles na  $334 \text{ kBq.m}^{-3}$ . V období 2016 a 2017 stúpli úrovne  $\text{OAR}_{3.Q}$  na  $407 \text{ kBq.m}^{-3}$ , resp.  $411 \text{ kBq.m}^{-3}$ , ale v roku 2018 tu došlo medziročne k výraznému poklesu pri strednej hodnote iba  $282 \text{ kBq.m}^{-3}$ . V sezóne 2019 došlo opäť k výraznému nárastu hodnôt  $\text{OAR}_{3.Q}$  až na úroveň  $416 \text{ kBq.m}^{-3}$  (obr. č. 4).

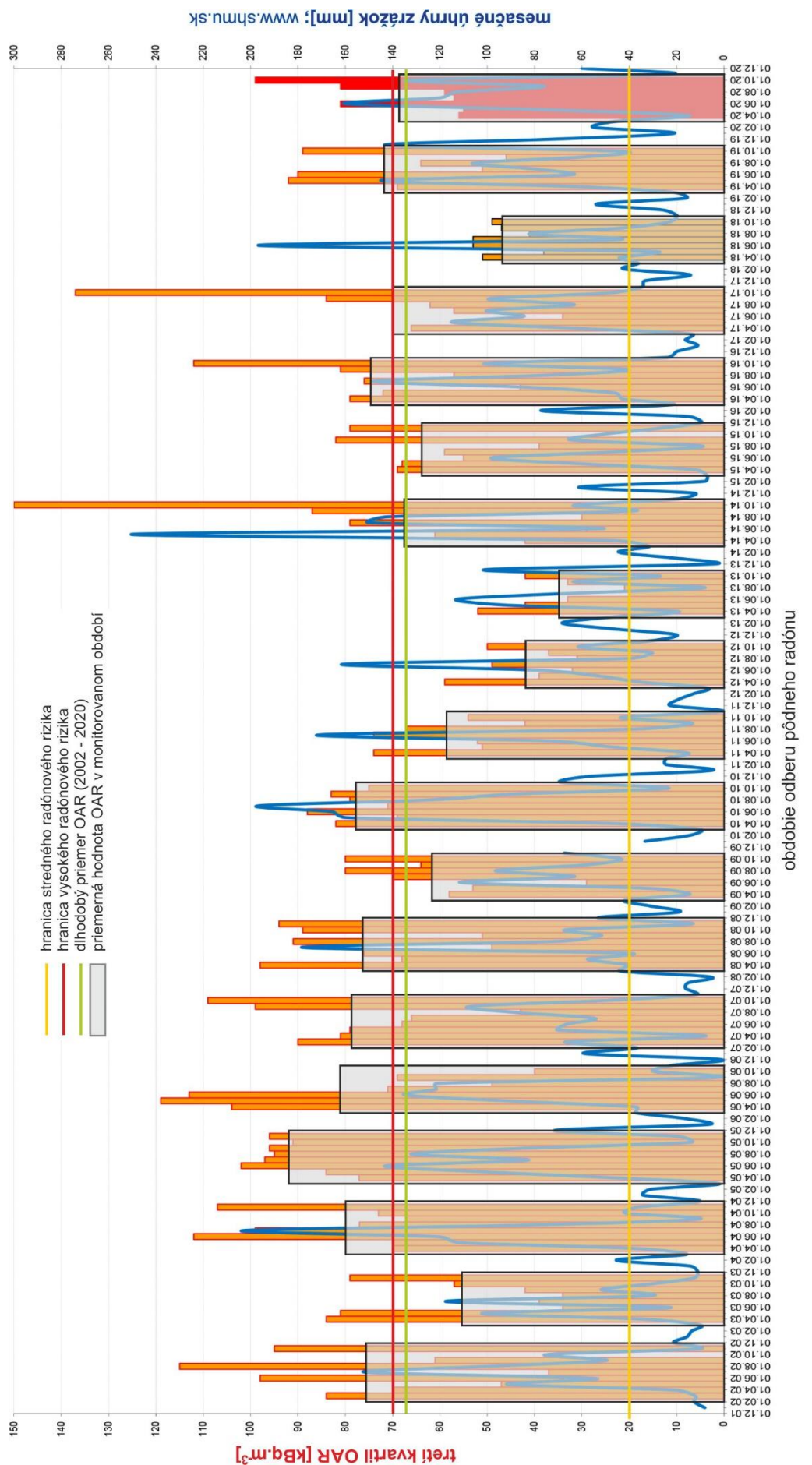
V sezóne 2020 došlo k pomerne výraznému poklesu OAR (trend  $\text{OAR}_{2020/2019} = 0,90$ ). Stredná hodnota  $\text{OAR}_{3.Q}$  v roku 2020 dosiahla  $375 \text{ kBq.m}^{-3}$  pri dlhodobom priemere  $\text{OAR}_{2002-2020} = 447 \text{ kBq.m}^{-3}$ . V jednotlivej sonde bola v júni 2020 nameraná  $\text{OAR}_{\text{MAX}} = 1047 \text{ kBq.m}^{-3}$ .



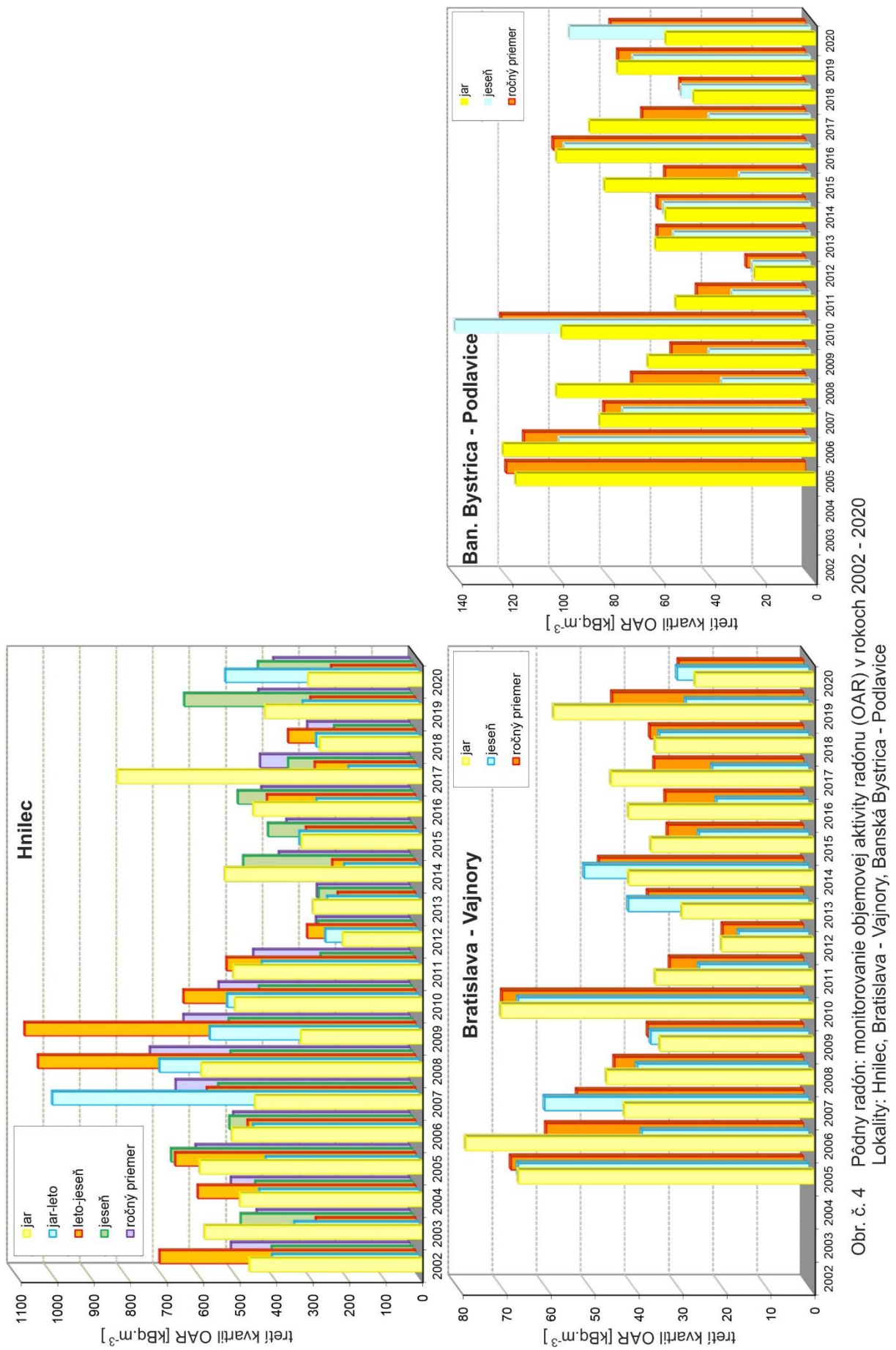
Obr. č. 1 Situačná schéma objektov monitorovaných v roku 2020



Obr. č. 2 Pôdny radón: monitorovanie objemovej aktivity radónu (OAR) v rokoch 2002 - 2020  
Lokalita: Novoveská Huta a Novoveská Huta II.



Obr. č. 3 Pôdny radón: monitorovanie objemovej aktivity radónu (OAR) v rokoch 2002 - 2020  
Lokalita: Teplička



Obr. č. 4 Pôdny radón: monitorovanie objemovej aktivity radónu (OAR) v rokoch 2002 - 2020  
Lokality: Hnilec, Bratislava - Vajnory, Banská Bystrica - Podlavice

Výsledky monitoringu na RP Hnilec v období 2002 – 2020 graficky prezentujeme na obr. č. 4 a prehľadne v tab. č. 6. Podrobnejšie štatistické údaje za uplynulý rok a porovnanie výsledkov monitorovania s predchádzajúcimi sezónami dokladujeme v tab. č. 3.

**RP Novoveská Huta II** je situovaná v priestore medzi miestnou komunikáciou približne V–Z smeru a cca 25 m sz. od päty veže miestneho kostola sv. Cyrila a Metoda. Tvorená je tromi emanometrickými profilmi (sieť 5 x 5 m). Založená je – obdobne, ako pôvodná RP Novoveská Huta – v prostredí budovanom pestofarebnými pieskovcami a bridlicami strážanských vrstiev novoveského súvrstvia (perm) strednej plynopriepustnosti s väzbou na dislokácie SSV – JJZ smeru.

Monitoring OAR v pôdnom vzduchu tu bol v sezóne 2020 zrealizovaný v období apríl až október (sedem monitorovaní, spolu 119 odberov a meraní vzoriek pôdneho vzduchu).

V roku 2020 tu medziročne došlo k významnému poklesu koncentrácií pôdneho radónu (trend  $OAR_{3,Q}$  2020/2019 = 0,73), pri dlhodobom priemere  $OAR_{3,Q}$  20018-2020 =  $108 \text{ kBq.m}^{-3}$ . Najvyššia priemerná mesačná úroveň  $OAR_{3,Q} = 107 \text{ kBq.m}^{-3}$  bola zaznamenaná v apríli a v jednotlivej sonde  $OAR_{MAX} = 223 \text{ kBq.m}^{-3}$  v auguste 2020.

Grafické znázornenie hodnôt  $OAR_{3,Q}$  v pôdnom vzduchu v jednotlivých sezónach na monitorovaných objektoch v Nov. Hute, ich vývoj v priebehu sezóny 2020 a porovnanie s predchádzajúcimi obdobiami (2002 – 2020) dokumentujeme na obr. č. 2. Pre možnosť kvalitatívneho posúdenia úrovní OAR a mesačných zrážkových úhrnov (zdroj: *shmu.sk*) je do obrázku zapracovaná aj príslušná grafická závislosť.

Výsledky štatistického spracovania výsledkov meraní sú prehľadne spracované v tab. č. 3 a sumárne v tab. č. 6.

**RP Teplička** je lokalizovaná približne 2,8 km južne od centra Spišskej Novej Vsi v lokalite Šulerloch (podľa rovnomennej kóty 646 m).

Podložie RP budujú sedimenty paleogénu (bridlice, pieskovce) strednej plynopriepustnosti s vyšším podielom ílovitej frakcie. Ílovité vrstvičky s malou priepustnosťou sú tvoria pomerne účinnú bariéru pri prenikaní radónu k povrchu, ale tento jav sa prejavuje iba pri zvýšenej vlhkosti horninového prostredia. Opačnú závislosť je – do určitej miery – možné očakávať v obdobiach s nízkymi zrážkovými úhrnmi, kedy plynopriepustnosť miestnych sedimentov (v dôsledku poklesu vlhkosti pokryvných útvarov) významne vzrastie.

V areáli tejto RP od maxima  $OAR_{3,Q}$  z roku 2005 ( $92 \text{ kBq.m}^{-3}$ ) dochádzalo postupne k výraznému poklesu koncentrácií pôdneho radónu (okrem sezóny 2010 s vysokými úhrnmi zrážok) až na  $35 \text{ kBq.m}^{-3}$  (rok 2013). V nasledujúcich štyroch sezónach boli priemerné hod-

noty OAR<sub>3,Q</sub> pomerne vyrovnané a varírovali v rozmedzí 64 až 74 kBq.m<sup>-3</sup>. V sezóne 2018 tu došlo opäť k výraznému poklesu na OAR<sub>3,Q</sub> = 47 kBq.m<sup>-3</sup>; v roku 2019 sme tu zaznamenali výrazný nárast na OAR<sub>3,Q</sub> = 72 kBq.m<sup>-3</sup>.

Monitoring v sezóne 2020 bol zrealizovaný v období apríl až október (sedem monitovaní, 119 odberov a meraní vzoriek pôdneho vzduchu). Maximálna úroveň OAR<sub>3,Q</sub> tu bola nameraná v októbri (99 kBq.m<sup>-3</sup>). Najvyšší obsah pôdneho radónu v jednotlivej sonde bol zaznamenaný taktiež v októbri (OAR<sub>MAX</sub> = 129 kBq.m<sup>-3</sup>). Medziročne tu došlo k mierнемu poklesu koncentrácií pôdneho radónu: trend OAR<sub>3,Q</sub> 2020/2019 = 0,96 pri dlhodobom priemere OAR<sub>3,Q</sub> 2002-2020 = 67 kBq.m<sup>-3</sup>.

Priebeh variácií OAR v pôdnom vzduchu dokladujeme na obr. č. 3, kde formou stĺpcového diagramu prezentujeme výsledky monitorovania od roku 2002, vrátane grafu mesačných zrážkových úhrnov (zdroj: *shmu.sk*). Výsledky komplexného štatistického spracovania meraní sú v tab. č. 3 a sumárne v tab. č. 6.

**RP Bratislava – Vajnory** je založená na sv. okraji rovnomennej mestskej časti Bratislavы, nedaleko Vajnorskej cesty, pozdĺž melioračného kanála približne S-J smeru.

Podložie monitorovaného objektu tvoria fluviálne holocénne sedimenty (piesčité až štrkovité hliny) so strednou až dobrou plynopriepustnosťou.

Na RP Bratislava – Vajnory sa v období 2005 až 2012 (s výnimkou mimoriadne vlhkej sezóny 2010) postupne znižovali priemerné ročné úrovne OAR<sub>3,Q</sub>. V období 2013 – 2014 tu došlo k ich zreteľnému nárastu, a po poklese v roku 2015 zaznamenávame postupný nárast na úroveň OAR<sub>3,Q</sub> = 44 kBq.m<sup>-3</sup> v roku 2019.

Monitoring OAR v pôdnom vzduchu tu bol v roku 2020 zrealizovaný v mesiacoch máj a september (dve monitorovania, 34 odberov a meraní vzoriek pôdneho vzduchu).

Na RP Bratislava – Vajnory došlo medziročne k výraznému poklesu obsahov pôdneho radónu (trend OAR<sub>3,Q</sub> 2020/2019 = 0,66), pri strednej hodnote OAR<sub>3,Q</sub> = 29 kBq.m<sup>-3</sup> a dlhodobom priemere OAR<sub>3,Q</sub> 2005-2020 = 42 kBq.m<sup>-3</sup>.

Najvyššie úrovne OAR v jednotlivej sonde sa zistili pri jesennom monitoringu (42 kBq.m<sup>-3</sup>). Hodnoty OAR<sub>3,Q</sub> tu boli v sezóne 2020 pomerne vyrovnané a dosiahli 27 kBq.m<sup>-3</sup> (jar), resp. 30 kBq.m<sup>-3</sup> (jeseň).

Podrobnejšie informácie a výsledky štatistického spracovania nameraných hodnôt OAR v pôdnom vzduchu po jednotlivých monitorovacích obdobiach sú v tab. č. 3 a 6 a na obr. č. 4.

**RP Banská Bystrica – Podlavice** je lokalizovaná na sz. okraji Banskej Bystrice (časť Podlavice), po oboch stranách poľnej cesty nedaleko od záhradkárskej (chatovej) kolónie.

Podložie referenčnej plochy je budované ramsauskými dolomitmi (stredný až vrchný trias) s anomálnymi koncentráciami uránu (tzv. „uránové dolomity“).

Na tomto objekte bol od roku 2005 (okrem sezóny 2010, charakterizovanej mimoriadne vysokými zrážkovými úhrnmi) sledovaný postupný a výrazný pokles až na  $OAR_{3.Q} 2012 = 24 \text{ kBq.m}^{-3}$ . V nasledujúcich troch sezónach (2013 – 2015) tu boli zaznamenané vyššie a úrovňou stabilnejšie hodnoty ( $56 - 59 \text{ kBq.m}^{-3}$ ), ale  $OAR_{3.Q}$  v roku 2016 dosiahla úroveň OAR až  $100 \text{ kBq.m}^{-3}$ . V rokoch 2017 a 2018 sme tu však zaznamenali pomerne rýchly a výrazný pokles OAR v pôdnom vzduchu až na hodnotu  $50 \text{ kBq.m}^{-3}$ . V sezóne 2019 došlo k nárastu na  $OAR_{3.Q} = 74 \text{ kBq.m}^{-3}$ .

Monitorovanie OAR v pôdnom vzduchu sa v sezóne 2020 uskutočnilo v máji a septembri (dve monitorovania, spolu 34 odberov a meraní vzoriek pôdneho vzduchu). Medziročne tu bol zaznamenaný iba mierny nárast koncentrácií pôdneho radónu z hodnoty  $OAR_{3.Q2019} = 74 \text{ kBq.m}^{-3}$  na hodnotu  $OAR_{3.Q2020} = 77 \text{ kBq.m}^{-3}$  pri trende  $OAR_{3.Q 2020/2019} = 1,04$  a dlhodobom priemere  $OAR_{3.Q 2005-2020} = 72 \text{ kBq.m}^{-3}$ .

Maximálna OAR v pôdnom vzduchu v jednotlivej sonde dosiahla  $310 \text{ kBq.m}^{-3}$  (jeseň), s hodnotami  $OAR_{3.Q}$  na úrovni  $59 \text{ kBq.m}^{-3}$  (jar), resp.  $95 \text{ kBq.m}^{-3}$  (jeseň).

Vyhodnotené výsledky monitorovania sú prehľadne spracované v tab. č. 3 a tab. č. 6. Výsledky monitoringu OAR v pôdnom vzduchu na RP Banská Bystrica – Podlavice v sezónoch 2005 až 2020 graficky dokumentujeme na obr. č. 4.

Tab. č. 3 Štatistické spracovanie meraní objemovej aktivity radónu v pôdnom vzduchu na referenčných plochách

| Radón v pôdnom vzduchu - monitoring 2019, porovnanie 2002 - 2020 |           |          |   |                    |                    |                  |                  |            |                           |               |
|--|-----------|----------|---|--------------------|--------------------|------------------|------------------|------------|---------------------------|---------------|
| Poč.   | Lokalita  | Dátum    | c <sub>A</sub> - objemová aktivita radónu v pôdnom vzduchu [kBq.m <sup>-3</sup> ] |                    |                    |                  |                  | Poznámka   |                           |               |
|  |           |          | N   | min c <sub>A</sub> | max c <sub>A</sub> | φ c <sub>A</sub> | σ c <sub>A</sub> | ϕ + σ      | 3. quartil c <sub>A</sub> | Rn riziko     |
| 1  |           | 29.04.20 | 17  | 45                 | 685                | 258              | 163              | 421        | 311                       | III           |
| 2  |           | 16.06.20 | 17  | 48                 | 1047               | 385              | 271              | 656        | 530                       | III           |
| 3  |           | 06.08.20 | 17  | 4                  | 609                | 195              | 168              | 363        | 232                       | III           |
| 4  |           | 23.10.20 | 17  | 46                 | 887                | 387              | 280              | 667        | 425                       | III           |
| <b>rok 2020</b>  | <b>68</b> | <b>4</b> | <b>1047</b>   | <b>306</b>         | <b>221</b>         | <b>527</b>       | <b>375</b>       | <b>III</b> |                           | vlhko         |
| rok 2019   | 68        | 10       | 1417  | 334                | 238                | 572              | 416              | III        |                           | sucho         |
| rok 2018   | 68        | 10       | 584   | 214                | 148                | 361              | 282              | III        |                           | vlhko / mokro |
| rok 2017   | 68        | 6        | 1869  | 310                | 241                | 550              | 411              | III        |                           | vlhko         |
| rok 2016   | 68        | 36       | 1327  | 321                | 268                | 589              | 407              | III        |                           | vlhko         |
| rok 2015   | 68        | 20       | 878   | 255                | 160                | 415              | 334              | III        |                           |               |
| rok 2014   | 68        | 47       | 969   | 296                | 217                | 513              | 359              | III        |                           |               |
| rok 2013   | 68        | 12       | 734   | 202                | 159                | 361              | 255              | III        |                           |               |
| rok 2012   | 68        | 3        | 712   | 209                | 147                | 355              | 258              | III        |                           |               |
| rok 2011   | 68        | 36       | 1375  | 384                | 272                | 656              | 430              | III        |                           |               |
| rok 2010   | 67        | 29       | 1496  | 452                | 312                | 765              | 524              | III        |                           |               |
| rok 2009   | 68        | 32       | 1735  | 476                | 381                | 857              | 620              | III        |                           |               |
| rok 2008   | 68        | 13       | 1685  | 550                | 356                | 906              | 712              | III        |                           |               |
| rok 2007   | 68        | 123      | 1742  | 568                | 331                | 899              | 642              | III        |                           |               |
| rok 2006   | 68        | 150      | 1262  | 433                | 249                | 682              | 485              | III        |                           |               |
| rok 2005   | 68        | 115      | 1861  | 509                | 286                | 795              | 587              | III        |                           |               |
| rok 2004   | 68        | 227      | 1300  | 454                | 211                | 665              | 491              | III        |                           |               |
| rok 2003   | 68        | 87       | 968   | 333                | 156                | 489              | 420              | III        |                           |               |
| rok 2002   | 67        | 84       | 1157  | 415                | 210                | 625              | 491              | III        |                           |               |

Tab. č. 3 Štatistické spracovanie meraní objemovej aktivity radónu v pôdnom vzduchu na referenčných plochách

| Radón v pôdnom vzduchu - monitoring 2019, porovnanie 2002 - 2020 |                          |            |   |                    |                    |                  |                  |           |                           |
|--|--------------------------|------------|---|--------------------|--------------------|------------------|------------------|-----------|---------------------------|
| p.č.   | Lokalita                 | Dátum      | C <sub>A</sub> - objemová aktivita radónu v pôdnom vzduchu [kBq.m <sup>-3</sup> ] |                    |                    |                  | Poznámka         |           |                           |
|  |                          |            | N   | min C <sub>A</sub> | max C <sub>A</sub> | ϕ C <sub>A</sub> | σ C <sub>A</sub> | ϕ + σ     | 3. kvartil C <sub>A</sub> |
| 1  | <b>Novoveská Huta II</b> | 29.04.20   | 17  | 17                 | 210                | 75               | 47               | 122       | 107                       |
| 2  |                          | 19.05.20   | 17  | 6                  | 88                 | 43               | 24               | 67        | 62                        |
| 3  |                          | 16.06.20   | 17  | 7                  | 126                | 61               | 39               | 100       | 103                       |
| 4  |                          | 13.07.20   | 17  | 17                 | 140                | 73               | 38               | 111       | 104                       |
| 5  |                          | 05.08.20   | 17  | 21                 | 223                | 64               | 51               | 115       | 69                        |
| 6  |                          | 17.09.20   | 17  | 12                 | 147                | 65               | 35               | 100       | 82                        |
| 7  |                          | 26.10.20   | 17  | 4                  | 138                | 80               | 40               | 120       | 97                        |
|  | <b>rok 2020</b>          | <b>119</b> | <b>4</b>  | <b>223</b>         | <b>66</b>          | <b>39</b>        | <b>105</b>       | <b>89</b> | <b>mokro</b>              |
|  | rok 2019                 | 118        | 7   | 298                | 94                 | 53               | 147              | 122       |                           |
|  | rok 2018                 | 34         | 27  | 231                | 84                 | 51               | 134              | 113       |                           |
|  | rok 2018                 | 68         | 9   | 417                | 76                 | 73               | 148              | 82        |                           |
|  | rok 2017                 | 117        | 3   | 666                | 69                 | 81               | 150              | 68        |                           |
|  | rok 2016                 | 119        | 10  | 430                | 80                 | 75               | 155              | 88        |                           |
|  | rok 2015                 | 119        | 3   | 370                | 46                 | 46               | 91               | 51        |                           |
|  | rok 2014                 | 119        | 5   | 173                | 45                 | 35               | 80               | 60        |                           |
|  | rok 2013                 | 119        | 4   | 181                | 26                 | 20               | 47               | 35        |                           |
|  | rok 2012                 | 119        | 5   | 240                | 32                 | 26               | 58               | 39        |                           |
|  | rok 2011                 | 119        | 7   | 396                | 56                 | 55               | 111              | 71        |                           |
|  | rok 2010                 | 119        | 4   | 387                | 56                 | 55               | 111              | 66        |                           |
|  | rok 2009                 | 119        | 4   | 486                | 55                 | 60               | 115              | 67        |                           |
|  | rok 2008                 | 136        | 8   | 198                | 47                 | 33               | 80               | 61        |                           |
|  | rok 2007                 | 153        | 7   | 577                | 66                 | 59               | 125              | 73        |                           |
|  | rok 2006                 | 119        | 4   | 670                | 93                 | 75               | 168              | 113       |                           |
|  | rok 2005                 | 102        | 2   | 668                | 85                 | 88               | 173              | 99        |                           |
|  | rok 2004                 | 102        | 1   | 439                | 69                 | 60               | 129              | 87        |                           |
|  | rok 2003                 | 102        | 2   | 379                | 48                 | 40               | 88               | 58        |                           |
|  | rok 2002                 | 102        | 1   | 515                | 73                 | 65               | 138              | 89        |                           |

Tab. č. 3 Štatistické spracovanie meraní objemovej aktivity radónu v pôdnom vzduchu na referenčných plochách

| Radón v pôdnom vzduchu - monitoring 2019, porovnanie 2002 - 2020 |          |          |   |                    |                    |                  |                  |          |                           |           |
|--|----------|----------|---|--------------------|--------------------|------------------|------------------|----------|---------------------------|-----------|
| p.č.   | Lokalita | Dátum    | C <sub>A</sub> - objemová aktivita radónu v pôdnom vzduchu [kBq.m <sup>-3</sup> ] |                    |                    |                  |                  | Poznámka |                           |           |
|  |          |          | N   | min c <sub>A</sub> | max c <sub>A</sub> | ϕ c <sub>A</sub> | σ c <sub>A</sub> | ϕ + σ    | 3. kvartil c <sub>A</sub> | Rn riziko |
| 1  |          | 29.04.20 | 17  | 24                 | 64                 | 47               | 13               | 60       | 56                        | II        |
| 2  |          | 19.05.20 | 17  | 10                 | 81                 | 45               | 19               | 64       | 55                        | II        |
| 3  |          | 16.06.20 | 17  | 15                 | 113                | 63               | 25               | 88       | 81                        | III       |
| 4  |          | 13.07.20 | 17  | 16                 | 86                 | 49               | 20               | 69       | 57                        | II        |
| 5  |          | 05.08.20 | 17  | 20                 | 83                 | 47               | 19               | 66       | 59                        | II        |
| 6  |          | 17.09.20 | 17  | 25                 | 95                 | 84               | 22               | 106      | 81                        | III       |
| 7  |          | 26.10.20 | 17  | 7                  | 129                | 77               | 33               | 110      | 99                        | III       |
| rok 2020   | 119      | 7        | 129   | 59                 | 22                 | 80               | 70               | II       |                           | mokro     |
| rok 2019   | 119      | 6        | 249   | 60                 | 30                 | 91               | 72               | II-III   |                           |           |
| rok 2018   | 119      | 4        | 83  | 38                 | 16                 | 53               | 47               | II       |                           |           |
| rok 2017   | 109      | 4        | 324   | 54                 | 34                 | 88               | 71               | II-III   |                           |           |
| rok 2016   | 117      | 1        | 154   | 56                 | 26                 | 82               | 74               | III      |                           |           |
| rok 2015   | 119      | 5        | 101   | 49                 | 21                 | 70               | 64               | II-III   |                           |           |
| rok 2014   | 119      | 1        | 188   | 47                 | 30                 | 77               | 68               | II-III   |                           |           |
| rok 2013   | 119      | 2        | 70  | 27                 | 12                 | 39               | 35               | II       |                           |           |
| rok 2012   | 119      | 3        | 93  | 32                 | 16                 | 48               | 42               | II       |                           |           |
| rok 2011   | 119      | 4        | 110   | 44                 | 22                 | 66               | 59               | II       |                           |           |
| rok 2010   | 119      | 4        | 150   | 59                 | 29                 | 88               | 78               | II       |                           |           |
| rok 2009   | 119      | 4        | 127   | 49                 | 27                 | 77               | 62               | II-III   |                           |           |
| rok 2008   | 136      | 3        | 118   | 57                 | 27                 | 84               | 77               | II       |                           |           |
| rok 2007   | 136      | 3        | 137   | 57                 | 28                 | 85               | 79               | II       |                           |           |
| rok 2006   | 119      | 3        | 157   | 61                 | 26                 | 87               | 81               | II       |                           |           |
| rok 2005   | 136      | 2        | 196   | 70                 | 33                 | 103              | 92               | II       |                           |           |
| rok 2004   | 136      | 6        | 120   | 62                 | 23                 | 85               | 80               | II       |                           |           |
| rok 2003   | 135      | 5        | 144   | 50                 | 19                 | 69               | 56               | II       |                           |           |
| rok 2002   | 136      | 3        | 143   | 60                 | 23                 | 83               | 76               | III      |                           |           |
| Teplická   |          |          |   |                    |                    |                  |                  |          |                           |           |

Tab. č. 3 Štatistické spracovanie meraní objemovej aktivity radónu v pôdnom vzduchu na referenčných plochách

| Radón v pôdnom vzduchu - monitoring 2019, porovnanie 2002 - 2020 |          |          |   |                    |                    |                  |                  |          |                           |           |
|--|----------|----------|---|--------------------|--------------------|------------------|------------------|----------|---------------------------|-----------|
| p.č.   | Lokalita | Dátum    | C <sub>A</sub> - objemová aktivita radónu v pôdnom vzduchu [kBq.m <sup>-3</sup> ] |                    |                    |                  |                  | Poznámka |                           |           |
|  |          |          | N   | min c <sub>A</sub> | max c <sub>A</sub> | ϕ c <sub>A</sub> | σ c <sub>A</sub> | ϕ + σ    | 3. kvartil c <sub>A</sub> | Rn riziko |
| 1  |          | 21.05.20 | 17  | 5                  | 38                 | 22               | 9                | 31       | 27                        | II        |
| 2  |          | 27.09.20 | 17  | 8                  | 42                 | 23               | 9                | 32       | 30                        | II        |
| rok 2020   | 34       | 5        | 42  | 23                 | 9                  | 32               | 29               | 29       | II                        | súcho     |
| rok 2019   | 34       | 1        | 80  | 34                 | 14                 | 48               | 44               | 44       | 44                        | vlhko     |
| rok 2018   | 33       | 7        | 46  | 28                 | 10                 | 38               | 35               | 35       | III                       |           |
| rok 2017   | 34       | 4        | 99  | 27                 | 15                 | 41               | 34               | 34       | III                       |           |
| rok 2016   | 34       | 3        | 69  | 26                 | 12                 | 38               | 32               | 32       | II                        |           |
| rok 2015   | 34       | 8        | 44  | 23                 | 9                  | 32               | 31               | 31       | II                        |           |
| rok 2014   | 34       | 8        | 61  | 37                 | 14                 | 51               | 47               | 47       | II                        |           |
| rok 2013   | 34       | 2        | 75  | 29                 | 14                 | 43               | 36               | 36       | II                        |           |
| rok 2012   | 34       | 4        | 56  | 17                 | 8                  | 25               | 19               | 19       | I-II                      |           |
| rok 2011   | 34       | 6        | 49  | 25                 | 10                 | 35               | 31               | 31       | II                        |           |
| rok 2010   | 34       | 4        | 100   | 50                 | 27                 | 76               | 69               | 69       | II-III                    |           |
| rok 2009   | 34       | 13       | 52  | 28                 | 11                 | 39               | 36               | 36       | II                        |           |
| rok 2008   | 34       | 2        | 61  | 34                 | 13                 | 47               | 43               | 43       | II                        |           |
| rok 2007   | 34       | 4        | 64  | 41                 | 13                 | 54               | 52               | 52       | II                        |           |
| rok 2006   | 34       | 10       | 98  | 41                 | 20                 | 61               | 59               | 59       | II                        |           |
| rok 2005   | 34       | 20       | 122   | 50                 | 22                 | 72               | 67               | 67       | II-III                    |           |
| rok 2004   |          |          |   |                    |                    |                  |                  |          |                           |           |
| rok 2003   |          |          |   |                    |                    |                  |                  |          |                           |           |
| rok 2002   |          |          |   |                    |                    |                  |                  |          |                           |           |
| <b>Bratislava - Vajnory</b>                                      |          |          |   |                    |                    |                  |                  |          |                           |           |

Tab. č. 3 Štatistické spracovanie meraní objemovej aktivity radónu v pôdnom vzduchu na referenčných plochách

| Radón v pôdnom vzduchu - monitoring 2019, porovnanie 2002 - 2020 |          |          |   |                    |                    |                  |                  |       |                           |    |
|--|----------|----------|---|--------------------|--------------------|------------------|------------------|-------|---------------------------|----|
| p.č.   | Lokalita | Dátum    | c <sub>A</sub> - objemová aktivita radónu v pôdnom vzduchu [kBq.m <sup>-3</sup> ] |                    |                    |                  |                  |       | Poznámka                  |    |
|  |          |          | N   | min c <sub>A</sub> | max c <sub>A</sub> | ϕ c <sub>A</sub> | σ c <sub>A</sub> | ϕ + σ | 3. kvartil c <sub>A</sub> |    |
| 1  |          | 18.05.20 | 17  | 12                 | 91                 | 42               | 24               | 66    | 59                        | II |
| 2  |          | 16.09.20 | 17  | 28                 | 310                | 97               | 81               | 178   | 95                        | II |
| rok 2020   | 34       | 12       | 310   | 70                 | 53                 | 122              | 77               | 77    | III                       |    |
| rok 2019   | 34       | 6        | 283   | 67                 | 56                 | 123              | 74               | 74    | III                       |    |
| rok 2018   | 17       | 13       | 124   | 43                 | 32                 | 75               | 50               | 50    | II                        |    |
| rok 2017   | 34       | 4        | 215   | 50                 | 45                 | 95               | 65               | 65    | II-III                    |    |
| rok 2016   | 34       | 6        | 262   | 75                 | 71                 | 145              | 100              | 100   | III                       |    |
| rok 2015   | 34       | 14       | 248   | 54                 | 44                 | 98               | 56               | 56    | II                        |    |
| rok 2014   | 34       | 1        | 167   | 49                 | 45                 | 93               | 59               | 59    | II                        |    |
| rok 2013   | 34       | 9        | 121   | 44                 | 27                 | 71               | 59               | 59    | II                        |    |
| rok 2012   | 34       | 4        | 79  | 19                 | 18                 | 37               | 24               | 24    | II                        |    |
| rok 2011   | 34       | 5        | 129   | 33                 | 26                 | 58               | 43               | 43    | II                        |    |
| rok 2010   | 34       | 13       | 265   | 102                | 61                 | 163              | 120              | 120   | III                       |    |
| rok 2009   | 34       | 6        | 157   | 38                 | 33                 | 71               | 53               | 53    | II                        |    |
| rok 2008   | 34       | 0        | 154   | 50                 | 28                 | 78               | 69               | 69    | II-III                    |    |
| rok 2007   | 34       | 13       | 219   | 64                 | 38                 | 102              | 80               | 80    | III                       |    |
| rok 2006   | 34       | 18       | 272   | 90                 | 53                 | 143              | 111              | 111   | III                       |    |
| rok 2005   | 18       | 30       | 193   | 98                 | 44                 | 142              | 118              | 118   | III                       |    |
| rok 2004   |          |          |   |                    |                    |                  |                  |       |                           |    |
| rok 2003   |          |          |   |                    |                    |                  |                  |       |                           |    |
| rok 2002   |          |          |   |                    |                    |                  |                  |       |                           |    |
| objekt nebol monitorovaný  |          |          |   |                    |                    |                  |                  |       |                           |    |

Vysvetlivky:

c<sub>A</sub> objemová aktivita radónu (OAR) v pôdnom vzduchu [kBq.m<sup>-3</sup>]

N počet meraných sônd na referenčnej ploche (RP)

min c<sub>A</sub> minimálna hodnota OAR z N

max c<sub>A</sub> maximálna hodnota OAR z N

ϕ c<sub>A</sub> stredná hodnota OAR z N meraných hodnôt c<sub>A</sub>

σ a<sub>v</sub> štandardná odchýlka OAR z N meraných hodnôt c<sub>A</sub>

3. kvartil c<sub>A</sub> tretí kvartil z N hodnôt c<sub>A</sub>

Rn riziko I – nízke, II – stredné, III – vysoké

Atm. tlak [hPa]

### **3.2 Pôdny radón na tektonike**

Prvé orientačné emanačné merania na lokalite **Dobrá Voda** boli zrealizované v sezóne 2012 na profile DV-1, založenom cca 1,1 km SSZ od centra rovnomennej obce. Profil mal smer približne SV–JZ, dĺžku 80 m a krok odberu vzoriek pôdneho radónu 5 m.

Poruchová zóna, vysledovaná vo wettersteinských dolomitoch (stredný trias) a prekrytá fluviálnymi nivnými sedimentmi, sa prejavila výrazným nárastom koncentrácii pôdneho radónu s  $OAR_{MAX} = 24 \text{ kBq.m}^{-3}$  v normálnom poli o úrovni pod  $2 \text{ kBq.m}^{-3}$ .

V sezóne 2013 boli merania OAR v pôdnom vzduchu vykonané na geofyzikálnom profile DV-2, situovanom cca 80 m SZ od profilu DV-1. Plynometria bola zrealizovaná zároveň s geoelektrickým prieskumom metódou odporovej tomografie (ERT – multikábel) s krokom merania 5,5 m (obr. č. 5 v ročnej správe za rok 2013).

Sledovaná poruchová zóna bola aj na tomto profile indikovaná výrazným nárastom koncentrácii pôdneho radónu s  $OAR_{MAX} = 20 \text{ kBq.m}^{-3}$  v normálnom poli cca  $1 \text{ kBq.m}^{-3}$  a tak tiež výrazným poklesom rezistivity z úrovne presahujúcej  $3.000 \text{ ohm.m}$  v slabo porušených, zvetraných (?) wettersteinských dolomitoch až k hodnote pod  $300 \text{ ohm.m}$  nad samotnou tektonickou dislokáciou.

V sezónach 2014 a 2015 boli vykonané detailné merania koncentrácii pôdneho radónu na plochách P1, resp. P2 (zhodne po 6 emanometrických profилov, siet'  $5 \times 10 \text{ m}$ ), založených v okolí, resp. južne od emanačnej anomálie vysledovanej v roku 2012 na profile DV-1 (obr. č. 5 v ročnej správe za rok 2018).

Poruchová zóna sa aj v sezóne 2015 na ploche P2 výrazne prejavila anomálnym zvýšením koncentrácii pôdneho radónu  $OAR_{MAX} = 48 \text{ kBq.m}^{-3}$ , v normálnom poli cca  $7 \text{ kBq.m}^{-3}$ .

V sezóne 2016 sa detailným radónovým prieskumom pokračovalo jjv. smerom na ploche P3 (obr. č. 5) – päť emanometrických profилov v sieti  $2-5 \times 5-10 \text{ m}$  (podľa prichodnosti terénom). Poruchová zóna tu bola indikovaná doposiaľ najvyššími koncentráciami pôdneho radónu:  $OAR_{MAX} = 62 \text{ kBq.m}^{-3}$ , v normálnom poli pod  $10 \text{ kBq.m}^{-3}$ .

Pokračovanie tektonickej dislokácie južným smerom v areáli plochy P4 (3 profily, siet'  $5 \times 5 \text{ m}$ ; spolu 60 sond) v sezóne 2017 nebolo zaznamenané ( $OAR_{MAX} = 28 \text{ kBq.m}^{-3}$ , v normálnom poli  $\sim 5 \text{ kBq.m}^{-3}$  (obr. č. 5 v RS za rok 2018)).

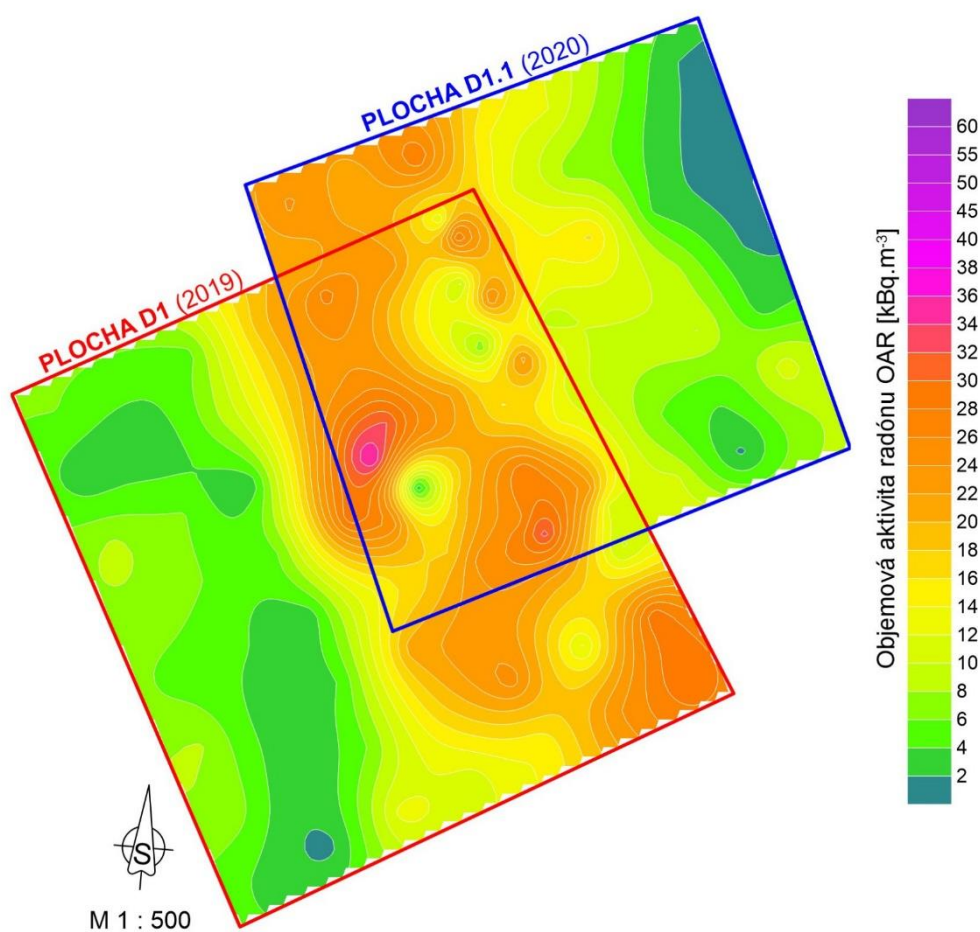
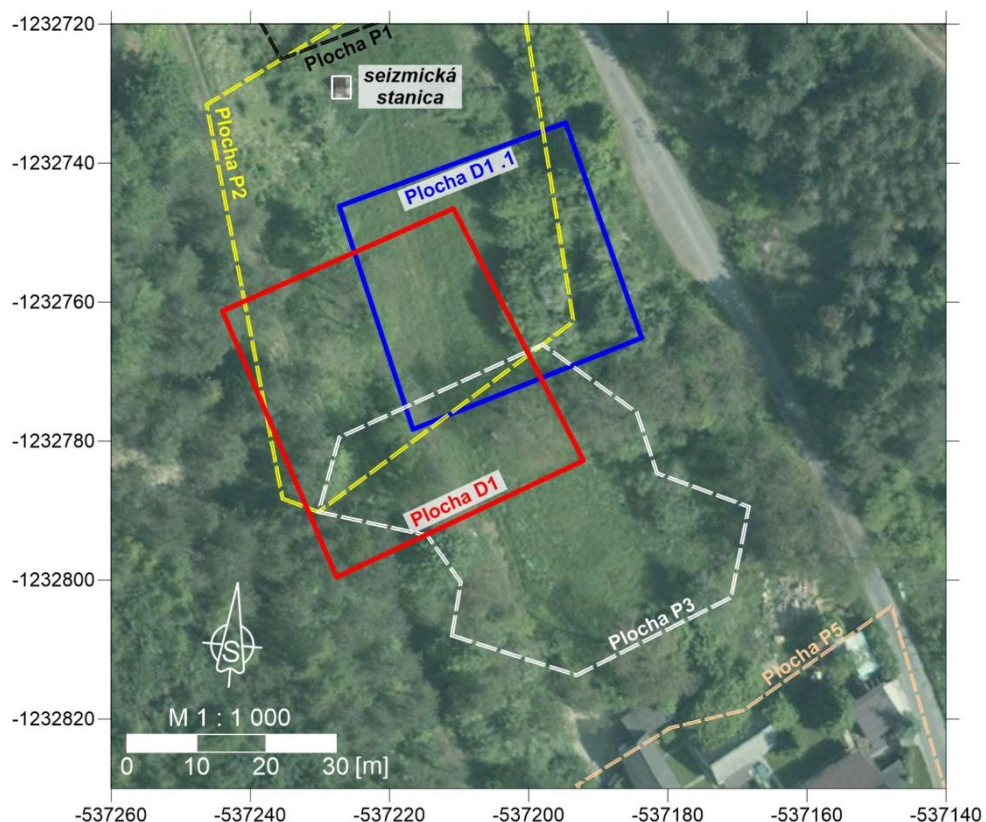
V sezóne 2018 boli detailné merania OAR nad tektonikou zrealizované na ploche P5 (siet' cca  $5 \times 5 \text{ m}$ ), ale pokračovanie sledovanej štruktúry južným smerom nebolo indikované:  $OAR_{MAX} = 34 \text{ kBq.m}^{-3}$ , normálne pole  $\sim 6 \text{ kBq.m}^{-3}$  (obr. č. 5 v RS za rok 2018). V sezóne 2019 bola na ploche D1 overovaná a detailizovaná výrazná anomália obsahov pôdneho radónu v mieste prieniku plôch P2 a P3, preskúmaných v predošlých monitorovacích obdobiach

(obr. 5). Zrealizovaný tu bol súbor meraní OAR (siet' 5x5 m) pri  $OAR_{MAX} = 32 \text{ kBq.m}^{-3}$ , v normálnom poli  $\sim 4 \text{ kBq.m}^{-3}$ . Obdobie s pomerne nízkymi zrážkami sa tu prejavilo na poklese OAR, čím sa aj na tejto lokalite potvrdila závislosť medzi vlhkosťou pokryvných útvarov a koncentráciami pôdneho radónu. Areál plochy D1 sme navrhli v ďalších rokoch pravidelne monitorovať aj v obdobiach po významnejších zrážkach.

V roku 2020 bola na ploche D1.1 (obr. č. 5) overovaná a detailizovaná výrazná anomália obsahov pôdneho radónu v mieste prieniku plôch P2, P3 a D1, preskúmaných v predošlých monitorovacích obdobiach. Zrealizovaný tu bol súbor meraní OAR (siet' 5x5 m) pri  $OAR_{MAX} = 37 \text{ kBq.m}^{-3}$ , v normálnom poli  $\sim 5 \text{ kBq.m}^{-3}$ .

Po získaní nevyhnutného prístrojového vybavenia na kontinuálne meranie OAR a vybudovaní monitorovacieho objektu (pozorovací vrt) tu do budúcnosti predpokladáme prepojenie podsystémov 05 a 02 (*Tektonická a seizmická aktivita územia*).

Oblast' poruchovej zóny v areáli lokality Dobrá Voda sa jednoznačne prejavuje zvýšením koncentrácií pôdneho radónu. Vysledovaná tektonická dislokácia pozitívne ovplyvňuje transport radónu do pripovrchových častí aj z väčších hĺbok, takže obsahy radónu v pôdnom vzduchu tu dosahujú anomálne hodnoty, rádovo prevyšujúce pozadie.



Obr. č. 5 Pôdny radón nad zlomom - detailizácia anomálie OAR  
Lokalita: Dobrá Voda, plochy D1 (rok 2019) a D1.1 (rok 2020)

### 3.3 Radón vo vodách

Práce a činnosti, vykonávané pri monitorovaní OAR v zdrojoch podzemných vôd, boli v roku 2020 zrealizované s rôznou frekvenciou na šiestich objektoch:

- |   |                                      |
|---|--------------------------------------|
| ○ Malé Karpaty, prameň Mária            | (2x ročne – jar a jeseň)             |
| ○ Malé Karpaty, prameň Zbojníčka        | (2x ročne – jar a jeseň)             |
| ○ Malé Karpaty, prameň Himligárka       | (2x ročne – jar a jeseň)             |
| ○ Bacúch, prameň Boženy Němcovej        | (8x ročne – interval 1 až 2 mesiace) |
| ○ Spišské Podhradie, prameň sv. Ondreja | (12x ročne – každý mesiac)           |
| ○ Oravice, pramenisko pri vrte OZ-1     | (2x ročne – jar a jeseň)             |

Výstupy meraní OAR v podzemných vodách boli štatisticky spracované a dokladujeme ich formou tabuľkových výstupov (tab. č. 4, 5 a 6). Výsledky meraní na uvedených lokalitách za obdobie 2002 (2006) až 2020 graficky prezentujeme formou prehľadných stĺpcových grafov na obr. č. 6, 7 a 8.

V tab. č. 4 uvádzame základné výsledky monitoringu OAR vo vodách za obdobie sezóny 2020, vrátane doplňujúcich údajov (teplota vzduchu a vody, výdatnosť zdroja). V tabuľke sú uvedené aj vybrané údaje monitoringu OAR vo vodách z predošlých období. Výsledky štatistického spracovania nameraných koncentrácií radónu a výdatností sledovaných vodných zdrojov za obdobie 2002 (2006) až 2020 uvádzame v tab. č. 5. Prehľadný súhrn výsledkov monitorovania za uplynulé sezóny je v tab. č. 6.

V oblasti **Malých Karpát** (severne od centra Bratislavы) boli v máji a septembri 2020 monitorované pramene **Mária** (Máriin prameň), **Zbojníčka** a **Himligárka**. Zachytené a stavbne upravené pramene sú viazané na kyslé prostredie kryštalinika Malých Karpát (leukokrátne muskovitické a dvojsľudné granity, granodiority; bratislavský typ) a na porušené zóny s podmienkami vhodnými na akumuláciu a transport radónu.

Na pramene Mária bol medziročne vysledovaný malý nárast koncentrácií radónu: trend  $OAR_{2020/2019} = 1,03$ ; priemerná ročná hodnota  $OAR_{2020} = 39 \text{ Bq.l}^{-1}$ ; dlhodobý priemer  $OAR_{2002-2020} = 34 \text{ Bq.l}^{-1}$ .

Zreteľný pokles obsahov radónu v zdrojoch podzemných vôd bol medziročne zaznamenaný na pramene Zbojníčka (trend  $OAR_{2020/2019} = 0,80$ ), pri strednej ročnej úrovni  $OAR_{2020} = 254 \text{ Bq.l}^{-1}$  a dlhodobom priemere  $OAR_{2002-2020} = 267 \text{ Bq.l}^{-1}$ .

Pokles OAR v podzemných vodách bol v roku 2020 medziročne zaznamenaný aj v pramene Himligárka (trend  $OAR_{2020/2019} = 0,91$ ) pri hodnote  $OAR_{2020} = 191 \text{ Bq.l}^{-1}$  a dlhodobom priemere  $OAR_{2002-2020} = 173 \text{ Bq.l}^{-1}$ . Pri jesennom monitoringu nebolo možné na tomto pramene korektne odobrat' vzorku vody.

Koeficienty variácií OAR ( $V_{Rn}$ ) v sezóne 2020 sú nízke a dosiahli max. 8 % (tab. 4).

Priemerné výdatnosti monitorovaných prameňov v sezóne 2020:  $Q_{Mária} = 0,053 \text{ l.s}^{-1}$ ,  $Q_{Zbojníčka} = 0,223 \text{ l.s}^{-1}$  a z jedného odberu  $Q_{Himligárka} = 0,047 \text{ l.s}^{-1}$ .

Korelačná závislosť medzi OAR a výdatnosťou zdrojov podzemných vôd nebola zistená. Podrobnejšie informácie sú v tab. č. 4 a 5 a na obr. č. 8.

**Prameň Boženy Němcovej**, lokalizovaný severne od obce Bacúch, bol v uplynulej sezóne monitorovaný 8x (v období január až apríl každý mesiac, zvyšok sezóny každý druhý mesiac). Zachytený a stavebne upravený prameň vyviera na povrch v prostredí granáticko-muskoviticko-biotitických pararúl, svorových rúl až svorov. Zdrojom radónu sú pravdepodobne porušené, emanačne schopné zóny kryštalinika Nízkych Tatier.

Maximum objemovej aktivity radónu ( $404 \text{ Bq.l}^{-1}$ ) bolo zaznamenané v marci a minimum ( $175 \text{ Bq.l}^{-1}$ ) v októbri 2020 (tab. č. 4, obr. č. 7); trend  $OAR_{2020/2019} = 1,07$ ; stredná hodnota  $OAR_{2020} = 300 \text{ Bq.l}^{-1}$  a dlhodobý priemer  $OAR_{2002-2020} = 279 \text{ Bq.l}^{-1}$  (tab. č. 6).

Priemerná výdatnosť prameňa v roku 2020 dosiahla  $0,024 \text{ l.s}^{-1}$ , pri pomerne nízkom koeficiente variácie ( $V_Q = 12 \%$ ) (tab. č. 5). Aj v porovnaní s predošlými monitorovacími sezónami sa jedná o dlhodobo relatívne stabilnú úroveň: v sezónach 2002 až 2020 sa výdatnosti pohybovali v rozmedzí iba  $0,020 - 0,027 \text{ l.s}^{-1}$ , pri pomerne nízkej variabilite ( $V_Q = 7 - 17 \%$ ). Ani na tomto prameni nebola zistená korelačná závislosť medzi OAR a výdatnosťou zdroja.

**Prameň sv. Ondreja** pri Spišskom Podhradí, je situovaný v areáli lokality Sivá Brada pri štátnej ceste č. 18 (E 50) Poprad – Prešov. Zachytený a stavebne upravený prameň, vyvierajúci z travertínovej kopy v oblasti budovanej hlinito-kamenitými deluviálnymi sedimentmi, sa monitoruje 12x ročne v mesačných intervaloch.

Priemerný obsah radónu v podzemnej vode dosiahol úroveň  $OAR_{2020} = 208 \text{ Bq.l}^{-1}$  (trend  $OAR_{2020/2019} = 0,94$ ), čo je pokles oproti roku 2019; dlhodobý priemer  $OAR_{2002-2020} = 182 \text{ Bq.l}^{-1}$ . Najvyššia hodnota  $OAR = 265 \text{ Bq.l}^{-1}$  bola nameraná vo februári a najnižšia ( $137 \text{ Bq.l}^{-1}$ ) v júli 2020 (obr. č. 6; tab. č. 4, 5 a 6).

Výdatnosť prameňa sa v roku 2020 pohybovala v rozmedzí  $0,034 - 0,051 \text{ l.s}^{-1}$ , so strednou hodnotou  $0,046 \text{ l.s}^{-1}$  a koeficiente variácie  $V_Q = 10 \%$ . Priemerná výdatnosť prameňa aj v predošlých monitorovacích sezónach varíovala v relatívne malom rozmedzí  $0,033$  až  $0,047 \text{ l.s}^{-1}$  ( $V_Q = 7 - 30 \%$ ), bez korelácie na koncentráciu radónu vo vode (tab. č. 5).

**Pramenisko Jašterčie**, situované cca 1,8 km južne od obce Oravice (nedaleko vrtu OZ-1), bolo monitorované v apríli a októbri 2020.

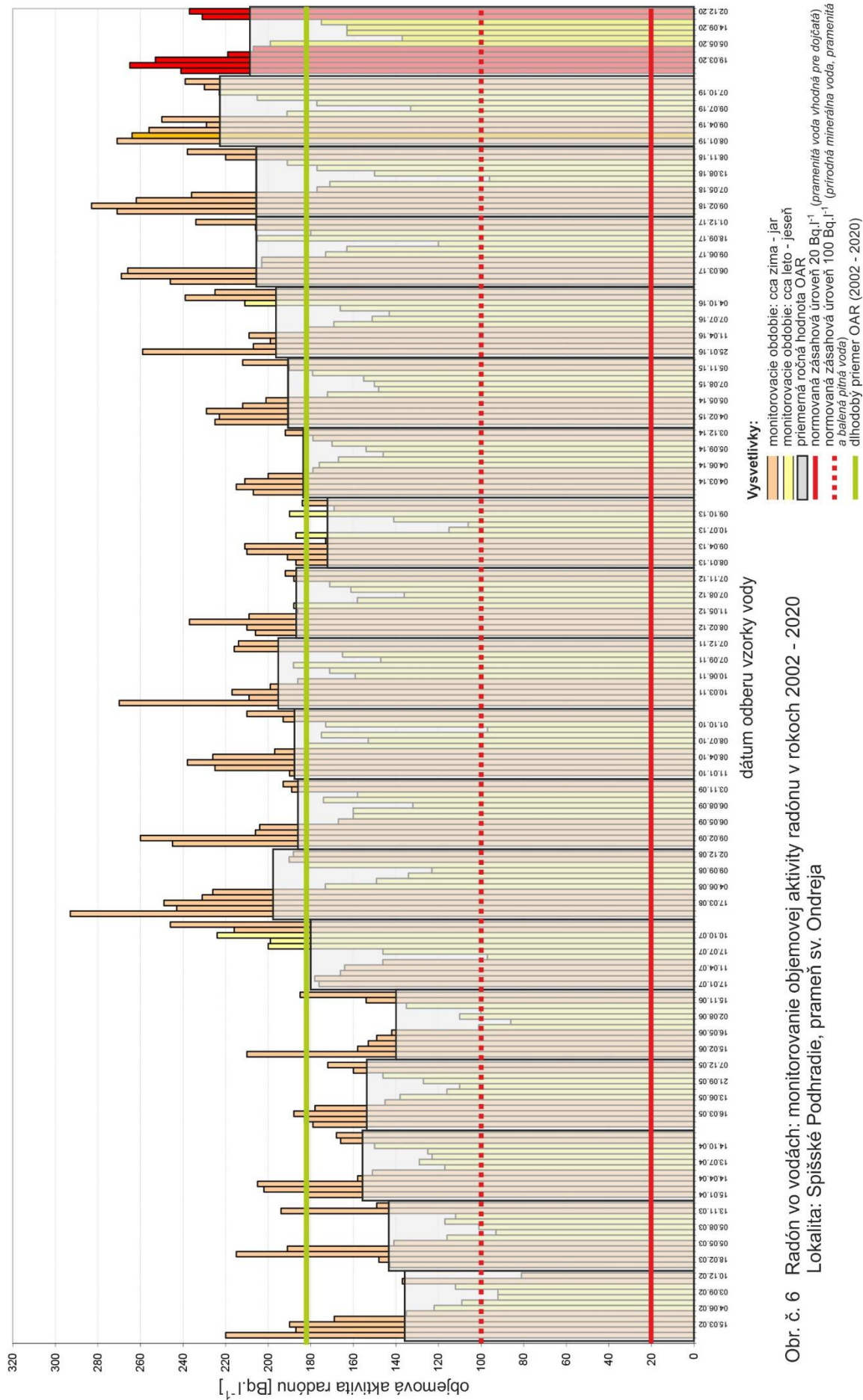
Vody tohto zdroja majú hlboký obeh, viazaný na predterciérne útvary a zóny hlbiných tektonických dislokácií. Zdroj radónu je nielen emanačný (získavaný z prostredia emanujúcich hornín), ale aj autogénny (vznikajúci rozpadom rádia obsiahnutého vo vode).

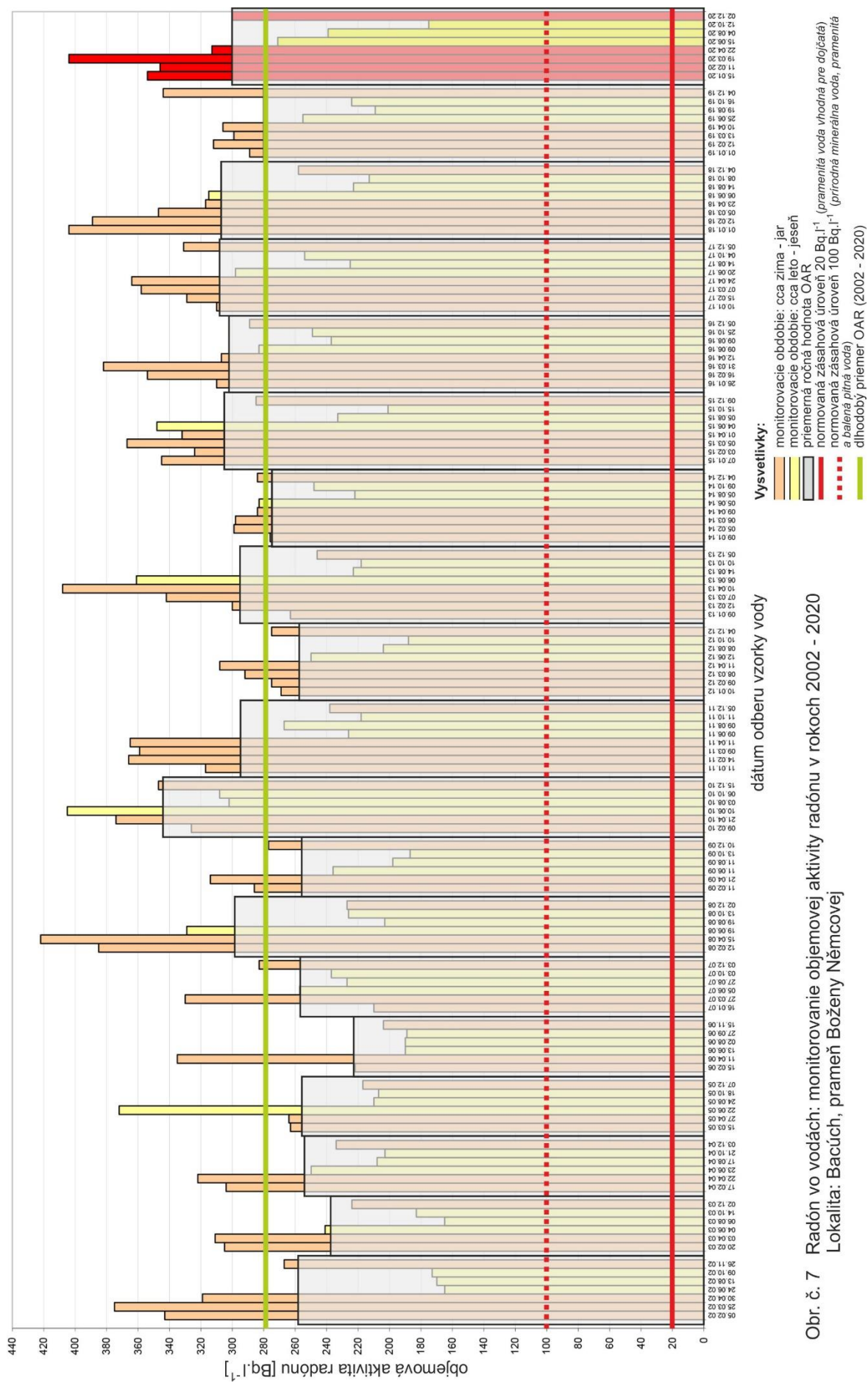
V tomto prírodnom termálnom vývere podzemných vôd (na povrch vyvierajú v prostredí glacifluviálnych sedimentov) sú dlhodobo zaznamenávané doposiaľ najvyššie známe objemové aktivity radónu v prírodných podzemných vodách v rámci územia Slovenska.

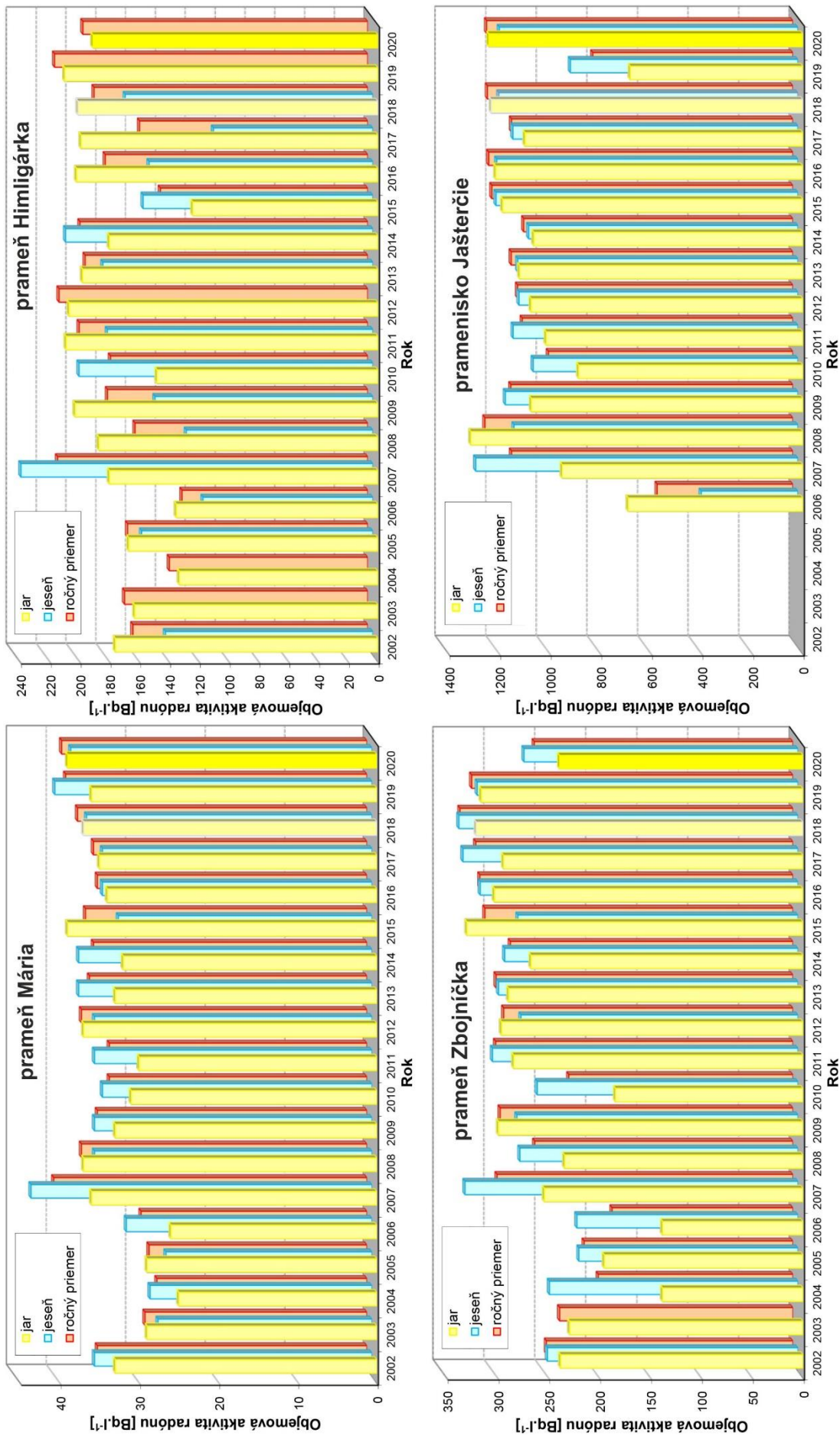
Potvrdzujú to aj výsledky meraní v roku 2020, kedy boli namerané hodnoty OAR =  $1241 \text{ Bq.l}^{-1}$  na jar a  $1180 \text{ Bq.l}^{-1}$  na jeseň (trend OAR<sub>2020/2019</sub> = 1,53), pri strednej ročnej úrovni OAR<sub>2020</sub> =  $1211 \text{ Bq.l}^{-1}$  a dlhodobom priemere OAR<sub>2006–2019</sub> =  $1066 \text{ Bq.l}^{-1}$ . Treba poznamenať, že hodnoty namerané v roku 2019 podobne ako v roku 2006 sa výraznými poklesmi vymykajú z intervalu bežných hodnôt nameraných na tomto zdroji.

Vzhľadom na charakter zdroja – pramenisko so starým poškodeným zberným objektom – nie je možné (bez pomerne náročných technických prác) určiť jeho výdatnosť.

Získané údaje prezentujeme v tab. č. 4, 5, 6 a na obr. č. 8.







Obr. č. 8 Radón vo vodách: monitorovanie objemovej aktivity radónu v rokoch 2002 - 2020  
Lokality: Bratislava - prameň Mária, Himligárska, Zbojníčka; Oravice - prameňo Jašterčie

tab. č. 4 Objemová aktívita radónu v podzemných vodách

| Radón v podzemných vodách - monitoring 2019, porovnanie 2002 - 2020 |             |          |  |                           |                |                  |  |  |                         |
|---|-------------|----------|--|---------------------------|----------------|------------------|--|--|-------------------------|
| p.č.  | Lokalita    | Dátum    | $^{222}\text{Rn}$<br>[Bq.l <sup>-1</sup> ] | Q<br>[l.s <sup>-1</sup> ] | t-voda<br>[°C] | t-vzduch<br>[°C] | Rn <sub>min</sub><br>[Bq.l <sup>-1</sup> ] | Rn <sub>max</sub><br>[Bq.l <sup>-1</sup> ] | $\phi\text{ Rn}$<br>[%] |
| 1   |             | 18.05.20 | 39   | 0.074                     | 8              | 8                |  |  |                         |
| 2   |             | 16.09.20 | 38   | 0.038                     | 11             | 17               |  |  |                         |
|   | <b>2020</b> |          |  |                           |                |                  | <b>38</b>                                  | <b>39</b>                                  | <b>2</b>                |
|   |             | 2019     |  |                           |                |                  | 36   | 40   | 38                      |
|   |             | 2018     |  |                           |                |                  | 36   | 37   | 37                      |
|   |             | 2017     |  |                           |                |                  | 34   | 35   | 35                      |
|   |             | 2016     |  |                           |                |                  | 34   | 34   | 0                       |
|   |             | 2015     |  |                           |                |                  | 32   | 39   | 36                      |
|   |             | 2014     |  |                           |                |                  | 32   | 37   | 35                      |
|   |             | 2013     |  |                           |                |                  | 33   | 37   | 35                      |
|   |             | 2012     |  |                           |                |                  | 35   | 37   | 4                       |
|   |             | 2011     |  |                           |                |                  | 30   | 35   | 33                      |
|   |             | 2010     |  |                           |                |                  | 31   | 34   | 33                      |
|   |             | 2009     |  |                           |                |                  | 33   | 35   | 4                       |
|   |             | 2008     |  |                           |                |                  | 35   | 37   | 4                       |
|   |             | 2007     |  |                           |                |                  | 36   | 43   | 40                      |
|   |             | 2006     |  |                           |                |                  | 26   | 31   | 29                      |
|   |             | 2005     |  |                           |                |                  | 26   | 30   | 28                      |
|   |             | 2004     |  |                           |                |                  | 25   | 28   | 27                      |
|   |             | 2003     |  |                           |                |                  | 27   | 29   | 28                      |
|   |             | 2002     |  |                           |                |                  | 33   | 35   | 34                      |

tab. č. 4 Objemová aktivita radónu v podzemných vodách

| Radón v podzemných vodách - monitoring 2019, porovnanie 2002 - 2020 |             |          |  |                           |                |                  |                   |                   |   |             |
|---|-------------|----------|--|---------------------------|----------------|------------------|-------------------|-------------------|---|-------------|
| p.č.  | Lokalita    | Dátum    | $^{222}\text{Rn}$<br>[Bq.l <sup>-1</sup> ] | Q<br>[l.s <sup>-1</sup> ] | t-voda<br>[°C] | t-vzduch<br>[°C] | Rn <sub>min</sub> | Rn <sub>max</sub> | $\phi\text{ Rn}$<br>[Bq.l <sup>-1</sup> ] | v Rn<br>[%] |
| 1   |             | 18.05.20 | 239  | 0.118                     | 8              | 8                |                   |                   |   |             |
| 2   |             | 16.09.20 | 269  | 0.067                     | 11             | 18               |                   |                   |   |             |
|   | <b>2020</b> |          |  |                           | <b>239</b>     | <b>269</b>       | <b>254</b>        | <b>8</b>          |   |             |
|   | 2019        |          |  |                           | 315            | 316              | 316               | 0                 |   |             |
|   | 2018        |          |  |                           | 321            | 333              | 327               | 3                 |   |             |
|   | 2017        |          |  |                           | 294            | 329              | 312               | 8                 |   |             |
|   | 2016        |          |  |                           | 303            | 312              | 308               | 2                 |   |             |
|   | 2015        |          |  |                           | 275            | 330              | 303               | 13                |   |             |
|   | 2014        |          |  |                           | 267            | 288              | 278               | 5                 |   |             |
|   | 2013        |          |  |                           | 289            | 294              | 292               | 1                 |   |             |
|   | 2012        |          |  |                           | 272            | 296              | 284               | 6                 |   |             |
|   | 2011        |          |  |                           | 287            | 300              | 294               | 3                 |   |             |
|   | 2010        |          |  |                           | 184            | 256              | 220               | 23                |   |             |
|   | 2009        |          |  |                           | 276            | 299              | 288               | 6                 |   |             |
|   | 2008        |          |  |                           | 234            | 273              | 254               | 11                |   |             |
|   | 2007        |          |  |                           | 254            | 327              | 291               | 18                |   |             |
|   | 2006        |          |  |                           | 138            | 217              | 178               | 22                |   |             |
|   | 2005        |          |  |                           | 195            | 215              | 205               | 5                 |   |             |
|   | 2004        |          |  |                           | 138            | 244              | 191               | 28                |   |             |
|   | 2003        |          |  |                           | 229            | 230              | 230               | 0                 |   |             |
|   | 2002        |          |  |                           | 238            | 246              | 242               | 2                 |   |             |

tab. č. 4 Objemová aktívita radónu v podzemných vodách

| Radón v podzemných vodách - monitoring 2019, porovnanie 2002 - 2020 |          |             |                       |                      |        |          |                       |                       |                       |
|---|----------|-------------|-----------------------|----------------------|--------|----------|-----------------------|-----------------------|-----------------------|
| p.č.  | Lokalita | Dátum       | $^{222}\text{Rn}$     | Q                    | t-voda | t-vzduch | Rn <sub>min</sub>     | Rn <sub>max</sub>     | $\phi \text{ Rn}$     |
|   |          | Rok         | [Bq.l <sup>-1</sup> ] | [l.s <sup>-1</sup> ] | [°C]   | [°C]     | [Bq.l <sup>-1</sup> ] | [Bq.l <sup>-1</sup> ] | [Bq.l <sup>-1</sup> ] |
| 1   |          | 18.05.20    | 191                   | 0.047                | 7      | 8        |                       |                       |                       |
| 2   |          | 16.09.20    |                       |                      |        |          |                       |                       |                       |
|   |          | <b>2020</b> |                       |                      |        |          | <b>191</b>            |                       | <b>-</b>              |
|   |          |             |                       |                      |        |          | -                     |                       |                       |
|   |          | 2019        |                       |                      |        |          | -                     |                       | 210                   |
|   |          | 2018        |                       |                      |        |          | 166                   | 201                   | 184                   |
|   |          | 2017        |                       |                      |        |          | 107                   | 199                   | 153                   |
|   |          | 2016        |                       |                      |        |          | 150                   | 202                   | 176                   |
|   |          | 2015        |                       |                      |        |          | 124                   | 154                   | 139                   |
|   |          | 2014        |                       |                      |        |          | 180                   | 206                   | 193                   |
|   |          | 2013        |                       |                      |        |          | 181                   | 198                   | 190                   |
|   |          | 2012        |                       |                      |        |          | -                     | -                     | 207                   |
|   |          | 2011        |                       |                      |        |          | 178                   | 209                   | 194                   |
|   |          | 2010        |                       |                      |        |          | 148                   | 197                   | 173                   |
|   |          | 2009        |                       |                      |        |          | 146                   | 203                   | 175                   |
|   |          | 2008        |                       |                      |        |          | 125                   | 187                   | 156                   |
|   |          | 2007        |                       |                      |        |          | 180                   | 236                   | 208                   |
|   |          | 2006        |                       |                      |        |          | 114                   | 135                   | 125                   |
|   |          | 2005        |                       |                      |        |          | 155                   | 167                   | 161                   |
|   |          | 2004        |                       |                      |        |          | 133                   | 133                   | -                     |
|   |          | 2003        |                       |                      |        |          | 163                   | -                     | -                     |
|   |          | 2002        |                       |                      |        |          | 139                   | 176                   | 158                   |
|   |          |             |                       |                      |        |          |                       |                       | 17                    |
| Bratislava - prameň Hmligáрka                                       |          |             |                       |                      |        |          |                       |                       |                       |

tab. č. 4 Objemová aktívita radónu v podzemných vodách

| Radón v podzemných vodách - monitoring 2019, porovnanie 2002 - 2020 |          |          |  |                           |                |                  |  |  |                                    |
|---|----------|----------|--|---------------------------|----------------|------------------|--|--|------------------------------------|
| p.č.  | Lokalita | Dátum    | $^{222}\text{Rn}$<br>[Bq.l <sup>-1</sup> ] | Q<br>[l.s <sup>-1</sup> ] | t-voda<br>[°C] | t-vzduch<br>[°C] | Rn <sub>min</sub><br>[Bq.l <sup>-1</sup> ] | Rn <sub>max</sub><br>[Bq.l <sup>-1</sup> ] | $\phi$ Rn<br>[Bq.l <sup>-1</sup> ] |
| 1   |          | 15.01.20 | 354  | 0.023                     | 6              | -3               |  |  |                                    |
| 2   |          | 11.02.20 | 346  | 0.025                     | 6              | 1                |  |  |                                    |
| 3   |          | 19.03.20 | 404  | 0.030                     | 7              | 16               |  |  |                                    |
| 4   |          | 22.04.20 | 313  | 0.025                     | 8              | 14               |  |  |                                    |
| 5   |          | 15.06.20 | 271  | 0.023                     | 8              | 18               |  |  |                                    |
| 6   |          | 04.08.20 | 239  | 0.021                     | 10             | 20               |  |  |                                    |
| 7   |          | 12.10.20 | 175  | 0.023                     | 10             | 11               |  |  |                                    |
| 8   |          | 02.12.20 | 300  | 0.022                     | 7              | -3               |  |  |                                    |
| <b>2020</b>   |          |          |  |                           | <b>175</b>     | <b>404</b>       | <b>300</b>                                 | <b>24</b>                                  |                                    |
|   | 2019     |          |  |                           | 209            | 344              | 280  | 17   |                                    |
|   | 2018     |          |  |                           | 213            | 404              | 308  | 23   |                                    |
|   | 2017     |          |  |                           | 225            | 364              | 309  | 16   |                                    |
|   | 2016     |          |  |                           | 118            | 382              | 280  | 29   |                                    |
|   | 2015     |          |  |                           | 201            | 367              | 305  | 20   |                                    |
|   | 2014     |          |  |                           | 222            | 299              | 274  | 10   |                                    |
|   | 2013     |          |  |                           | 218            | 408              | 295  | 24   |                                    |
|   | 2012     |          |  |                           | 188            | 308              | 258  | 16   |                                    |
|   | 2011     |          |  |                           | 218            | 366              | 295  | 22   |                                    |
|   | 2010     |          |  |                           | 302            | 405              | 344  | 12   |                                    |
|   | 2009     |          |  |                           | 187            | 314              | 250  | 20   |                                    |
|   | 2008     |          |  |                           | 203            | 422              | 299  | 31   |                                    |
|   | 2007     |          |  |                           | 210            | 330              | 257  | 17   |                                    |
|   | 2006     |          |  |                           | 189            | 335              | 222  | 23   |                                    |
|   | 2005     |          |  |                           | 207            | 372              | 256  | 22   |                                    |
|   | 2004     |          |  |                           | 203            | 322              | 254  | 18   |                                    |
|   | 2003     |          |  |                           | 165            | 311              | 238  | 26   |                                    |
|   | 2002     |          |  |                           | 165            | 375              | 259  | 35   |                                    |

Bacúch -  
prameň Boženy Němcovej

tab. č. 4 Objemová aktivita radónu v podzemných vodách

| Radón v podzemných vodách - monitoring 2019, porovnanie 2002 - 2020 |          |          |   |                           |                |                  |   |   |                  |           |     |
|---|----------|----------|---|---------------------------|----------------|------------------|---|---|------------------|-----------|-----|
| p.č.  | Lokalita | Dátum    | $^{222}\text{Rn}$<br>[Bq. $\text{l}^{-1}$ ] | Q<br>[L $\text{s}^{-1}$ ] | t-voda<br>[°C] | t-vzduch<br>[°C] | Rn <sub>min</sub><br>[Bq. $\text{l}^{-1}$ ] | Rn <sub>max</sub><br>[Bq. $\text{l}^{-1}$ ] | $\phi\text{ Rn}$ | v Rn      | [%] |
| 1   |          | 15.01.20 | 241   | 0.050                     | 7              | -5               |   |   |                  |           |     |
| 2   |          | 11.02.20 | 265   | 0.048                     | 6              | 2                |   |   |                  |           |     |
| 3   |          | 19.03.20 | 253   | 0.048                     | 7              | 7                |   |   |                  |           |     |
| 4   |          | 21.04.20 | 219   | 0.045                     | 8              | -2               |   |   |                  |           |     |
| 5   |          | 11.05.20 | 207   | 0.051                     | 9              | 10               |   |   |                  |           |     |
| 6   |          | 05.06.20 | 199   | 0.043                     | 10             | 16               |   |   |                  |           |     |
| 7   |          | 09.07.20 | 137   | 0.043                     | 13             | 17               |   |   |                  |           |     |
| 8   |          | 06.08.20 | 163   | 0.046                     | 14             | 21               |   |   |                  |           |     |
| 9   |          | 14.09.20 | 163   | 0.045                     | 14             | 13               |   |   |                  |           |     |
| 10  |          | 07.10.20 | 175   | 0.050                     | 13             | 9                |   |   |                  |           |     |
| 11  |          | 05.11.20 | 231   | 0.043                     | 11             | 8                |   |   |                  |           |     |
| 12  |          | 02.12.20 | 237   | 0.034                     | 8              | -5               |   |   |                  |           |     |
| <b>2020</b>   |          |          |   |                           |                |                  | <b>137</b>                                  | <b>265</b>                                  | <b>208</b>       | <b>20</b> |     |
|   |          | 2019     |   |                           |                |                  | 133   | 271   | 222              | 18        |     |
|   |          | 2018     |   |                           |                |                  | 96  | 283   | 206              | 27        |     |
|   |          | 2017     |   |                           |                |                  | 120   | 269   | 206              | 21        |     |
|   |          | 2016     |   |                           |                |                  | 143   | 259   | 197              | 18        |     |
|   |          | 2015     |   |                           |                |                  | 148   | 229   | 191              | 16        |     |
|   |          | 2014     |   |                           |                |                  | 146   | 215   | 183              | 12        |     |
|   |          | 2013     |   |                           |                |                  | 106   | 211   | 172              | 20        |     |
|   |          | 2012     |   |                           |                |                  | 136   | 237   | 187              | 15        |     |
|   |          | 2011     |   |                           |                |                  | 147   | 270   | 195              | 17        |     |
|   |          | 2010     |   |                           |                |                  | 97  | 238   | 188              | 20        |     |
|   |          | 2009     |   |                           |                |                  | 132   | 260   | 187              | 20        |     |
|   |          | 2008     |   |                           |                |                  | 123   | 293   | 198              | 26        |     |
|   |          | 2007     |   |                           |                |                  | 97  | 246   | 180              | 22        |     |
|   |          | 2006     |   |                           |                |                  | 86  | 210   | 140              | 25        |     |
|   |          | 2005     |   |                           |                |                  | 110   | 188   | 154              | 17        |     |
|   |          | 2004     |   |                           |                |                  | 117   | 205   | 156              | 18        |     |
|   |          | 2003     |   |                           |                |                  | 93  | 215   | 143              | 27        |     |
|   |          | 2002     |   |                           |                |                  | 81  | 220   | 137              | 33        |     |

Spišské Podhradie -  
prameň sv. Ondreja

tab. č. 4 Objemová aktívita radónu v podzemných vodách

| Radón v podzemných vodách - monitoring 2019, porovnanie 2002 - 2020 |          |          |                       |                      |                            |                              |                       |                       |                   |
|---|----------|----------|-----------------------|----------------------|----------------------------|------------------------------|-----------------------|-----------------------|-------------------|
| p.č.  | Lokalita | Dátum    | $^{222}\text{Rn}$     | Q                    | $\text{t}\cdot\text{voda}$ | $\text{t}\cdot\text{vzduch}$ | $\text{Rn}_{\min}$    | $\text{Rn}_{\max}$    | $\phi \text{ Rn}$ |
|   |          | Rok      | [Bq.l <sup>-1</sup> ] | [l.s <sup>-1</sup> ] | [°C]                       | [Bq.l <sup>-1</sup> ]        | [Bq.l <sup>-1</sup> ] | [Bq.l <sup>-1</sup> ] | v Rn [%]          |
| 1   |          | 22.04.20 | 1241                  | nemateriálna         | 18                         | 9                            |                       |                       |                   |
| 2   |          | 12.10.20 | 1180                  | nemateriálna         | 18                         | 10                           |                       |                       |                   |
|   |          | 2020     |                       |                      |                            |                              | 1180                  | 1241                  | 1211 4            |
|   |          | 2019     |                       |                      |                            |                              | 682                   | 899                   | 791 19            |
|   |          | 2018     |                       |                      |                            |                              | 1182                  | 1232                  | 1207 3            |
|   |          | 2017     |                       |                      |                            |                              | 1098                  | 1126                  | 1112 2            |
|   |          | 2016     |                       |                      |                            |                              | 1190                  | 1214                  | 1202 1            |
|   |          | 2015     |                       |                      |                            |                              | 1186                  | 1193                  | 1190 0            |
|   |          | 2014     |                       |                      |                            |                              | 1063                  | 1064                  | 1064 0            |
|   |          | 2013     |                       |                      |                            |                              | 1107                  | 1119                  | 1113 1            |
|   |          | 2012     |                       |                      |                            |                              | 1074                  | 1102                  | 1088 2            |
|   |          | 2011     |                       |                      |                            |                              | 1014                  | 1125                  | 1070 7            |
|   |          | 2010     |                       |                      |                            |                              | 886                   | 1046                  | 966 12            |
|   |          | 2009     |                       |                      |                            |                              | 1073                  | 1156                  | 1115 5            |
|   |          | 2008     |                       |                      |                            |                              | 1122                  | 1312                  | 1217 11           |
|   |          | 2007     |                       |                      |                            |                              | 951                   | 1273                  | 1112 20           |
|   |          | 2006     |                       |                      |                            |                              | 382                   | 690                   | 536 29            |
|   |          | 2005     |                       |                      |                            |                              |                       |                       |                   |
|   |          | 2004     |                       |                      |                            |                              |                       |                       |                   |
|   |          | 2003     |                       |                      |                            |                              |                       |                       |                   |
|   |          | 2002     |                       |                      |                            |                              |                       |                       |                   |

objekt nebol monitorovaný

- Kde:
- $^{222}\text{Rn}$  objemová aktívita radónu (OAR) vo vode  $c_{\text{A}}$  [Bq.l<sup>-1</sup>]
  - Q výdatnosť vodného zdroja [l.s<sup>-1</sup>]
  - t-voda** teplota vody [°C]
  - t-vzduch** teplota vzduchu [°C]
  - $\text{Rn}_{\min}$  minimálna hodnota OAR za hodnotené obdobie [Bq.l<sup>-1</sup>]
  - $\text{Rn}_{\max}$  maximálna hodnota OAR za hodnotené obdobie [Bq.l<sup>-1</sup>]
  - $\phi \text{ Rn}$  stredná hodnota OAR za hodnotené obdobie [Bq.l<sup>-1</sup>]
  - v Rn variacný koeficient OAR za hodnotené obdobie [%]

tab. č. 5 Štatistické spracovanie meraní objemovej aktivity radónu v podzemných vodách za obdobia 2002 - 2020

| p.č. | Lokalita                      | Obdobie | $^{222}\text{Rn} [\text{Bq.l}^{-1}]$ |                     |          | Výdatnosť Q [ $\text{l.s}^{-1}$ ] |                    |         |
|------|-------------------------------|---------|--------------------------------------|---------------------|----------|-----------------------------------|--------------------|---------|
|      |                               |         | $\phi \text{ Rn}$                    | $\sigma \text{ Rn}$ | v Rn [%] | $\phi \text{ Q}$                  | $\sigma \text{ Q}$ | v Q [%] |
| 1    | Bratislava - prameň Mária     | 2020    | 39                                   | 0.7                 | 2        | 0.053                             | 0.030              | 56      |
|      |                               | 2019    | 38                                   | 2.8                 | 2        | 0.124                             | 0.113              | 91      |
|      |                               | 2018    | 37                                   | 0.7                 | 2        | 0.069                             | 0.064              | 91      |
|      |                               | 2017    | 35                                   | 0.7                 | 2        | 0.203                             | 0.247              | 122     |
|      |                               | 2016    | 34                                   | 0.0                 | 0        | 0.178                             | 0.173              | 98      |
|      |                               | 2015    | 36                                   | 4.9                 | 14       | 0.134                             | 0.143              | 107     |
|      |                               | 2014    | 35                                   | 3.5                 | 10       | 1.044                             | 1.097              | 105     |
|      |                               | 2013    | 35                                   | 2.8                 | 8        | 0.227                             | 0.100              | 63      |
|      |                               | 2012    | 36                                   | 1.4                 | 4        | 0.171                             | 0.165              | 97      |
|      |                               | 2011    | 33                                   | 3.5                 | 11       | 0.362                             | 0.069              | 20      |
|      |                               | 2010    | 33                                   | 2.1                 | 7        | 0.926                             | 0.178              | 19      |
|      |                               | 2009    | 34                                   | 1.4                 | 4        | 0.127                             | 0.074              | 59      |
|      |                               | 2008    | 36                                   | 1.4                 | 4        | 0.118                             | 0.024              | 20      |
|      |                               | 2007    | 40                                   | 4.9                 | 12       | 0.183                             | 0.019              | 10      |
|      |                               | 2006    | 29                                   | 2.5                 | 9        | 0.613                             | 0.498              | 81      |
|      |                               | 2005    | 28                                   | 2.0                 | 7        | 0.396                             | 0.271              | 68      |
|      |                               | 2004    | 27                                   | 1.5                 | 6        | 0.536                             | 0.465              | 87      |
|      |                               | 2003    | 28                                   | 1.4                 | 5        | 0.128                             | 0.139              | 109     |
|      |                               | 2002    | 34                                   | 1.4                 | 4        | 0.299                             | 0.158              | 53      |
|      |                               | 2020    | 254                                  | 21.2                | 8        | 0.223                             | 0.063              | 28      |
| 2    | Bratislava - prameň Zbojníčka | 2019    | 316                                  | 0.7                 | 0        | 0.175                             | 0.169              | 97      |
|      |                               | 2018    | 327                                  | 8.5                 | 3        | 0.264                             | 0.171              | 65      |
|      |                               | 2017    | 312                                  | 24.7                | 8        | 0.389                             | 0.467              | 120     |
|      |                               | 2016    | 308                                  | 6.4                 | 2        | 0.261                             | 0.296              | 113     |
|      |                               | 2015    | 303                                  | 38.9                | 13       | 0.162                             | 0.166              | 103     |
|      |                               | 2014    | 278                                  | 14.8                | 5        | 1.026                             | 1.095              | 107     |
|      |                               | 2013    | 292                                  | 3.5                 | 1        | 0.248                             | 0.199              | 80      |
|      |                               | 2012    | 284                                  | 17.0                | 6        | 0.207                             | 0.233              | 113     |
|      |                               | 2008    | 254                                  | 27.6                | 11       | 0.243                             | 0.233              | 96      |
|      |                               | 2007    | 291                                  | 51.6                | 18       | 0.265                             | 0.068              | 26      |
|      |                               | 2006    | 178                                  | 39.5                | 22       | 1.431                             | 1.425              | 100     |
|      |                               | 2005    | 205                                  | 10.0                | 5.0      | 0.463                             | 0.338              | 73      |
|      |                               | 2004    | 191                                  | 53.0                | 28       | 0.577                             | 0.535              | 93      |
|      |                               | 2003    | 230                                  | 0.7                 | 0.3      | 0.096                             | 0.121              | 127     |
|      |                               | 2002    | 242                                  | 5.7                 | 2        | 0.276                             | 0.050              | 18      |

tab. č. 5 Štatistické spracovanie meraní objemovej aktivity radónu v podzemných vodách za obdobia 2002 - 2020

| p.č. | Lokalita                        | Obdobie | 222Rn [Bq.l <sup>-1</sup> ] |      |          | Výdatnosť Q [l.s <sup>-1</sup> ] |       |         |
|------|---------------------------------|---------|-----------------------------|------|----------|----------------------------------|-------|---------|
|      |                                 |         | ϕ Rn                        | σ Rn | v Rn [%] | ϕ Q                              | σ Q   | v Q [%] |
| 3    | Bratislava - prameň Hmligárdka  | 2020    | 191                         | -    | -        | 0.047                            | -     | -       |
|      |                                 | 2019    | 210                         | -    | -        | 0.286                            | -     | -       |
|      |                                 | 2018    | 184                         | 24.7 | 13       | 0.108                            | 0.115 | 106     |
|      |                                 | 2017    | 153                         | 65.1 | 43       | 0.235                            | 0.326 | 139     |
|      |                                 | 2016    | 176                         | 36.8 | 21       | 0.154                            | 0.187 | 121     |
|      |                                 | 2015    | 139                         | 21.2 | 15       | 0.147                            | 0.187 | 128     |
|      |                                 | 2014    | 193                         | 18.4 | 10       | 0.979                            | 1.246 | 127     |
|      |                                 | 2013    | 190                         | 12.0 | 6        | 0.171                            | 0.200 | 117     |
|      |                                 | 2012    | 207                         | -    | -        | 0.168                            | -     | -       |
|      |                                 | 2011    | 194                         | 21.9 | 11       | 0.193                            | 0.047 | 25      |
|      |                                 | 2010    | 173                         | 34.6 | 20       | 1.203                            | 0.870 | 72      |
|      |                                 | 2009    | 175                         | 40.3 | 23       | 0.056                            | 0.056 | 101     |
|      |                                 | 2008    | 156                         | 43.8 | 28       | 0.130                            | 0.146 | 113     |
|      |                                 | 2007    | 208                         | 39.6 | 19       | 0.093                            | 0.031 | 33      |
|      |                                 | 2006    | 125                         | 10.5 | 8        | 0.719                            | 0.709 | 100     |
|      |                                 | 2005    | 161                         | 6.0  | 4        | 0.259                            | 0.229 | 88      |
|      |                                 | 2004    | 133                         | -    | -        | 0.263                            | 0.263 | 100     |
|      |                                 | 2003    | 163                         | -    | -        | 0.091                            | 0.128 | 141     |
|      |                                 | 2002    | 158                         | 26.2 | 17       | 0.311                            | 0.001 | 0.2     |
|      |                                 | 2020    | 300                         | 71.9 | 24       | 0.024                            | 0.003 | 12      |
| 4    | Bacúch - prameň Božený Němcovej | 2019    | 280                         | 46.4 | 17       | 0.022                            | 0.003 | 11      |
|      |                                 | 2018    | 308                         | 71.9 | 23       | 0.024                            | 0.003 | 11      |
|      |                                 | 2017    | 309                         | 48.6 | 16       | 0.022                            | 0.002 | 7       |
|      |                                 | 2016    | 301                         | 48.9 | 16       | 0.021                            | 0.002 | 7       |
|      |                                 | 2015    | 305                         | 60.1 | 20       | 0.020                            | 0.002 | 9       |
|      |                                 | 2014    | 274                         | 26.4 | 10       | 0.022                            | 0.003 | 13      |
|      |                                 | 2013    | 295                         | 69.6 | 24       | 0.022                            | 0.002 | 7       |
|      |                                 | 2012    | 258                         | 41.8 | 16       | 0.022                            | 0.003 | 12      |
|      |                                 | 2008    | 299                         | 92.9 | 31       | 0.021                            | 0.002 | 9       |
|      |                                 | 2007    | 257                         | 43.6 | 17       | 0.024                            | 0.003 | 13      |
|      |                                 | 2006    | 222                         | 52.0 | 23       | 0.027                            | 0.003 | 9       |
|      |                                 | 2005    | 256                         | 57.0 | 22       | 0.026                            | 0.004 | 17      |
|      |                                 | 2004    | 254                         | 45.2 | 18       | 0.020                            | 0.002 | 10      |
|      |                                 | 2003    | 238                         | 60.6 | 25       | 0.021                            | 0.002 | 9       |
|      |                                 | 2002    | 259                         | 89.7 | 35       | 0.026                            | 0.004 | 16      |

tab. č. 5 Štatistické spracovanie meraní objemovej aktivity radónu v podzemných vodách za obdobie 2002 - 2020

| p.č. | Lokalita                               | Obdobie | $^{222}\text{Rn} [\text{Bq.l}^{-1}]$ |                     |          | Výdatnosť Q [ $\text{l.s}^{-1}$ ] |                    |         |
|------|--|---------|--------------------------------------|---------------------|----------|-----------------------------------|--------------------|---------|
|      |  |         | $\phi \text{ Rn}$                    | $\sigma \text{ Rn}$ | v Rn [%] | $\phi \text{ Q}$                  | $\sigma \text{ Q}$ | v Q [%] |
| 5    | Spišské Podhradie - prameň sv. Ondreja | 2020    | 208                                  | 40.6                | 20       | 0.046                             | 0.005              | 10      |
|      |  | 2019    | 222                                  | 40.1                | 18       | 0.047                             | 0.006              | 13      |
|      |  | 2018    | 206                                  | 55.4                | 27       | 0.038                             | 0.006              | 14      |
|      |  | 2017    | 206                                  | 43.7                | 21       | 0.036                             | 0.005              | 13      |
|      |  | 2016    | 197                                  | 35.5                | 18       | 0.040                             | 0.004              | 11      |
|      |  | 2015    | 191                                  | 30.1                | 16       | 0.040                             | 0.003              | 7       |
|      |  | 2014    | 183                                  | 22.5                | 12       | 0.037                             | 0.003              | 9       |
|      |  | 2013    | 172                                  | 34.1                | 20       | 0.037                             | 0.007              | 18      |
|      |  | 2012    | 187                                  | 27.4                | 15       | 0.041                             | 0.005              | 11      |
|      |  | 2011    | 195                                  | 33.5                | 17       | 0.036                             | 0.006              | 17      |
|      |  | 2010    | 188                                  | 38.0                | 20       | 0.038                             | 0.005              | 13      |
|      |  | 2009    | 187                                  | 37.3                | 20       | 0.039                             | 0.004              | 11      |
|      |  | 2008    | 198                                  | 51.1                | 26       | 0.042                             | 0.005              | 12      |
|      |  | 2007    | 180                                  | 40.4                | 22       | 0.040                             | 0.008              | 20      |
|      |  | 2006    | 140                                  | 35.0                | 25       | 0.041                             | 0.006              | 14      |
|      |  | 2005    | 154                                  | 26.0                | 17       | 0.044                             | 0.006              | 13      |
|      |  | 2004    | 156                                  | 28.6                | 18       | 0.039                             | 0.006              | 14      |
|      |  | 2003    | 143                                  | 39.1                | 27       | 0.033                             | 0.006              | 19      |
|      |  | 2002    | 137                                  | 44.8                | 33       | 0.034                             | 0.010              | 30      |
|      |  | 2020    | 1211                                 | 43.1                | 4        |                                   |                    |         |
| 6    | Oravice - pramenisko Jašterčie OZ-1    | 2019    | 791                                  | 153.4               | 19       |                                   |                    |         |
|      |  | 2018    | 1207                                 | 35.4                | 3        |                                   |                    |         |
|      |  | 2017    | 1112                                 | 19.8                | 2        |                                   |                    |         |
|      |  | 2016    | 1202                                 | 17.0                | 1        |                                   |                    |         |
|      |  | 2015    | 1190                                 | 4.9                 | 0        |                                   |                    |         |
|      |  | 2014    | 1066                                 | 4.2                 | 0        |                                   |                    |         |
|      |  | 2013    | 1113                                 | 8.5                 | 1        |                                   |                    |         |
|      |  | 2008    | 1217                                 | 134.4               | 11       |                                   |                    |         |
|      |  | 2007    | 1112                                 | 227.7               | 20       |                                   |                    |         |
|      |  | 2006    | 536                                  | 155.4               | 29       |                                   |                    |         |
|      |  | 2005    |                                      |                     |          |                                   |                    |         |
|      |  | 2004    |                                      |                     |          |                                   |                    |         |
|      |  | 2003    |                                      |                     |          |                                   |                    |         |
|      |  | 2002    |                                      |                     |          |                                   |                    |         |

nemeratelná

objekt nebol monitorovaný

**Kde:**  $^{222}\text{Rn}$  - objemová aktívita radónu (OAR) vo vode  $c_A [\text{Bq.l}^{-1}]$   
 $\phi_{\text{Rn}}$  - stredná hodnota OAR za hodnotené obdobie  $[\text{Bq.l}^{-1}]$   
 $\sigma_{\text{Rn}}$  - štandardná odchýlka OAR za hodnotené obdobie  $[\text{Bq.l}^{-1}]$   
 $v_{\text{Rn}}$  - variačný koeficient OAR za hodnotené obdobie [%]

$Q$  výdatnosť vodného zdroja  $[\text{l.s}^{-1}]$   
 $\phi_Q$  priemerná výdatnosť Q za hodnotené obdobie  $[\text{l.s}^{-1}]$   
 $\sigma_Q$  smerodatná odchýlka Q za hodnotené obdobie  $[\text{l.s}^{-1}]$   
 $v_Q$  variačný koeficient Q za hodnotené obdobie [%]

Tab. č. 6 Vývoj hodnôt objemovej aktivity radónu (OAR) v pôdnom vzduchu a v podzemných vodách za obdobia 2002 – 2020

| p.č.  | LOKALITA                               | Rok  |      |      |      |      |      |      |      |      |      |      |      |      |      |      |      |      |      | Dlhodobý priemer | σ                | N    | Podiel c <sub>a</sub><br>2020 / 2019 | Trend<br>2020 / 2019                 |                      |     |      |   |
|---|--|------|------|------|------|------|------|------|------|------|------|------|------|------|------|------|------|------|------|------------------|------------------|------|--------------------------------------|--------------------------------------|----------------------|-----|------|---|
|   |  | 2002 | 2003 | 2004 | 2005 | 2006 | 2007 | 2008 | 2009 | 2010 | 2011 | 2012 | 2013 | 2014 | 2015 | 2016 | 2017 | 2018 | 2019 |                  |                  |      |                                      |                                      |                      |     |      |   |
| <b>Pôdny radón na referenčných plochách</b>                                 |  |      |      |      |      |      |      |      |      |      |      |      |      |      |      |      |      |      |      |                  |                  |      |                                      |                                      |                      |     |      |   |
| 1   | Hnilec                                 | 491  | 420  | 491  | 587  | 642  | 712  | 620  | 524  | 430  | 258  | 265  | 359  | 334  | 407  | 411  | 282  | 416  | 375  | 447              | 287              | 1290 | 0.90                                 | ↗                                    |                      |     |      |   |
| 2   | Novoveská Huta                         | 89   | 58   | 87   | 99   | 113  | 73   | 61   | 67   | 66   | 71   | 39   | 35   | 60   | 51   | 88   | 68   | 82   | 68   | 71               | 69               | 1952 | —                                    | —                                    |                      |     |      |   |
| 2   | Novoveská Huta II                      |      |      |      |      |      |      |      |      |      |      |      |      |      |      |      |      |      |      | 50               | 271              | 0.73 | ↗                                    |                                      |                      |     |      |   |
| 3   | Teplická                               | 76   | 56   | 80   | 92   | 81   | 79   | 77   | 62   | 78   | 59   | 42   | 35   | 68   | 64   | 74   | 70   | 47   | 72   | 69               | 67               | 31   | 2838                                 | 0.96                                 | ↗                    |     |      |   |
| 4   | Bratislava - Vajnorov                  |      |      |      |      |      |      |      |      |      |      |      |      |      |      |      |      |      |      | 34               | 42               | 19   | 543                                  | 0.66                                 | ↗                    |     |      |   |
| 5   | Banská Bystrica - Podlavice            |      |      |      |      |      |      |      |      |      |      |      |      |      |      |      |      |      |      | 56               | 100              | 50   | 74                                   | 77                                   | 52                   | 527 | 1.04 | ↗ |
| <b>Pôdny radón na tektonike</b>   |  |      |      |      |      |      |      |      |      |      |      |      |      |      |      |      |      |      |      |                  |                  |      |                                      |                                      |                      |     |      |   |
| 1   | Grainiar                               | 18   | 10   | 13   | 24   | 20   | 16   | 20   | 16   | *)   | *)   | *)   | *)   | 15   | *)   | *)   | *)   | *)   | *)   | 17               | 17               | 1022 | —                                    | —                                    |                      |     |      |   |
| 2   | Grajinář II.                           |      |      |      |      |      |      |      |      |      |      |      |      | 6    | 3    | 10   | 19   | 36   | 10   | 11               | 15               | 16   | 70                                   | 6                                    | 7                    | 18  | —    |   |
| 3   | Dobrá Voda, profil DV-1                |      |      |      |      |      |      |      |      |      |      |      |      | *)   | *)   | *)   | *)   | *)   | *)   | 3                | 4                | 60   | —                                    | —                                    |                      |     |      |   |
| 4   | Dobrá Voda, profil DV-2                |      |      |      |      |      |      |      |      |      |      |      |      | 10   | 19   | 36   | 10   | 11   | 12   | 10               | 7                | 60   | —                                    | —                                    |                      |     |      |   |
| 5   | Dobrá Voda, plocha P1                  |      |      |      |      |      |      |      |      |      |      |      |      | *)   | *)   | *)   | *)   | *)   | *)   | 10               | 7                | 60   | —                                    | —                                    |                      |     |      |   |
| 6   | Dobrá Voda, plocha P2                  |      |      |      |      |      |      |      |      |      |      |      |      | 19   | 36   | 10   | 11   | 12   | 13   | 19               | 14               | 60   | —                                    | —                                    |                      |     |      |   |
| 7   | Dobrá Voda, plocha P3                  |      |      |      |      |      |      |      |      |      |      |      |      | *)   | *)   | *)   | *)   | *)   | *)   | 36               | 15               | 37   | —                                    | —                                    |                      |     |      |   |
| 8   | Dobrá Voda, plocha P4                  |      |      |      |      |      |      |      |      |      |      |      |      | *)   | *)   | *)   | *)   | *)   | *)   | 10               | 6                | 60   | —                                    | —                                    |                      |     |      |   |
| 9   | Dobrá Voda, plocha P5                  |      |      |      |      |      |      |      |      |      |      |      |      | *)   | *)   | *)   | *)   | *)   | *)   | 11               | 5                | 54   | —                                    | —                                    |                      |     |      |   |
| 10  | Dobrá Voda, plocha D1                  |      |      |      |      |      |      |      |      |      |      |      |      | *)   | *)   | *)   | *)   | *)   | *)   | 22               | 9                | 60   | —                                    | —                                    |                      |     |      |   |
| 11  | Dobrá Voda, plocha D1.1                |      |      |      |      |      |      |      |      |      |      |      |      | *)   | *)   | *)   | *)   | *)   | *)   | 20               | 20               | 9    | 49                                   | —                                    |                      |     |      |   |
| <b>Priemerné úhrny zrážok na Slovensku v [mm] a [%] dlhodobého priemera</b> |  |      |      |      |      |      |      |      |      |      |      |      |      |      |      |      |      |      |      |                  |                  |      |                                      |                                      |                      |     |      |   |
| 861   | 573                                    | 851  | 938  | 776  | 894  | 860  | 890  | 1256 | 656  | 747  | 864  | 957  | 719  | 924  | 768  | 673  | 848  | 901  | [mm] |                  |                  |      |                                      |                                      |                      |     |      |   |
| 106   | 75                                     | 112  | 125  | 101  | 122  | 112  | 122  | 157  | 80   | 98   | 122  | 119  | 98   | 124  | 108  | 90   | 111  | 117  | [%]  |                  |                  |      |                                      |                                      |                      |     |      |   |
| p.č.  | LOKALITA                               | 2002 | 2003 | 2004 | 2005 | 2006 | 2007 | 2008 | 2009 | 2010 | 2011 | 2012 | 2013 | 2014 | 2015 | 2016 | 2017 | 2018 | 2019 | 2020             | Dlhodobý priemer | σ    | N                                    | Podiel c <sub>a</sub><br>2020 / 2019 | Trend<br>2020 / 2019 |     |      |   |
| <b>Radón vo vodách</b>  |  |      |      |      |      |      |      |      |      |      |      |      |      |      |      |      |      |      |      |                  |                  |      |                                      |                                      |                      |     |      |   |
| 1   | Bratislava - Prameň Mária              | 34   | 28   | 27   | 28   | 29   | 40   | 36   | 34   | 33   | 36   | 35   | 36   | 34   | 35   | 37   | 38   | 39   | 34   | 4                | 76               | 1.03 | ↗                                    |                                      |                      |     |      |   |
| 2   | Bratislava - prameň Zbojníčka          | 242  | 230  | 191  | 205  | 178  | 291  | 254  | 288  | 220  | 294  | 284  | 303  | 278  | 312  | 327  | 316  | 254  | 267  | 50               | 75               | —    | —                                    |                                      |                      |     |      |   |
| 3   | Bratislava - prameň Hmlíňárka          | 158  | 163  | 133  | 161  | 125  | 208  | 156  | 175  | 194  | 190  | 193  | 139  | 176  | 153  | 184  | 210  | 191  | 173  | 32               | 66               | 0.91 | ↗                                    |                                      |                      |     |      |   |
| 4   | Bačúch - prameň Boženy Němcovej        | 259  | 238  | 254  | 256  | 222  | 257  | 299  | 250  | 344  | 295  | 274  | 305  | 301  | 309  | 308  | 280  | 300  | 279  | 63               | 269              | 1.07 | ↗                                    |                                      |                      |     |      |   |
| 5   | Spišské Podhradie - prameň sv. Ondreja | 137  | 143  | 156  | 154  | 140  | 180  | 198  | 187  | 188  | 195  | 187  | 172  | 183  | 191  | 197  | 206  | 222  | 208  | 182              | 45               | 461  | 0.94                                 | ↗                                    |                      |     |      |   |
| 6   | Oravice - pramenisko Jašteriče         |      |      |      |      |      |      |      |      |      |      |      |      |      |      |      |      |      | 1211 | 1066             | 198              | 61   | 1.53                                 | ↗                                    |                      |     |      |   |
| 7   | Zemplín - vt. Ladimovce                |      |      |      |      |      |      |      |      |      |      |      |      |      |      |      |      |      | 15   | 2                | 18               | —    | —                                    |                                      |                      |     |      |   |

Kde:

3.Q c<sub>a</sub> stredná hodnota tretieho kvartílu OAR v pôdnom vzduchu za hodnotený rok  
c<sub>a</sub> stredná hodnota OAR v podzemnej vode za hodnotený rok

N celkový počet meraní OAR na lokalite za obdobie monitorovania

σ štandardná odchyloska OAR z N

v danom roku neboli objekt monitorovaný

monitorovanie na objekte dočasne prerušené

monitorovanie objektu ukončené

\*)

\*\*)

#### **4. ZÁVERY A ODPORÚČANIA**

Riešenie projektu „*Monitoring objemovej aktivity radónu v geologickom prostredí na území Slovenskej republiky*“, ktorý je jedným z podsystémov významnej úlohy „**Čiastkový monitorovací systém geologických faktorov životného prostredia Slovenskej republiky**“, pokračovalo v roku 2020 v rozsahu porovnateľnom s predchádzajúcimi sezónami.

Súbor geofyzikálnych prác a činností, realizovaných v tomto podsystéme v sezóne 2020, predstavoval opakované vzorkovania a merania OAR v terénnych aj laboratórnych podmienkach na celkom 12-tich lokalitách ( päť lokalít pre pôdny radón na RP, jeden objekt nad tektonikou a šesť objektov pre radón v podzemných vodách) v rámci územia Slovenska (obr. č. 1), vrátane ich komplexného spracovania, vyhodnotenia, porovnania výsledkov s predchádzajúcimi obdobiami, vypracovania jednotlivých ročných správ (textová, tabuľková a grafická časť), aktualizovania výsledných databáz, atď.

Monitorovanie OAR v pôdnom vzduchu na RP sa v sezóne 2020 vykonávalo s rôznou frekvenciou v období apríl až október na lokalitách v strednom a vysokom radónovom riziku: Bratislava – RP Vajnory, Banská Bystrica – RP Podlavice, Spišská Nová Ves – RP Novoveská Huta a RP Teplička, resp. až v extrémnom radónovom riziku na RP Hnilec.

Najrozšíahlejšie monitorovanie OAR v pôdnom vzduchu (v čo možno najširšom spektri meteorologických podmienok), prebehlo na objektoch RP Novoveská Huta II a RP Teplička (po 7x za rok), resp. na lokalite RP Hnilec (4x v roku). Ostatné lokality boli monitorované dvakrát ročne a to v jarnom a jesennom termíne.

Merania OAR nad tektonickou dislokáciou na lokalite Dobrá Voda (plocha D1.1) boli zrealizované v auguste 2020.

Objemová aktívita radónu v zdrojoch podzemných vôd bola sledovaná v troch prameňoch v oblasti Malých Karpát v extravidé Bratislavu (pramene Mária, Zbojníčka a Himličárka – každý 2x v roku), v pramene sv. Ondreja na Sivej Brade pri Spišskom Podhradí (12x ročne), v pramene Boženy Němcovej pri Bacúchu (8x za rok) a na pramenisku Jašterčie pri Oraviciach (2x v priebehu roka).

Získané výsledky boli vyhodnotené, štatisticky spracované a v predkladanej ročnej správe ich prezentujeme formou prehľadných tabuľiek, grafov a sprievodného textu. Priebežne sú aktualizované databázy (dátové súbory) v schválenej štruktúre a fyzickej náplni.

Výsledky monitorovania dlhodobo potvrdzujú skutočnosť, že priebeh sezónnych variácií OAR v pôdnom vzduchu významne závisí od meteorologických a klimatických faktorov,

vlhkosti a plynopriepustnosti miestnych zemín a hornín, ale v nezanedbateľnom rozsahu aj na samotnej štruktúrno-geologickej stavbe a litologickej charakteristike geologického prostredia v areáli konkrétnej lokality.

Klimatické a meteorologické podmienky boli v uplynulých monitorovacích sezónach pre akumuláciu a možnosti šírenia radónu v geologickom prostredí značne odlišné.

V rokoch 2004 – 2006 boli dlhšie zimy a častejšie a výdatnejšie zrážky na jar pozitívne ovplyvňovali vlhkosť pôdy a teda aj podmienky pre akumuláciu radónu v horninách.

O niečo iná situácia nastala v sezónach 2007 – 2009, keď zima i jar boli zrážkovo podpriemerné a menej zrážok bolo aj v letnom období (prevažne iba lokálne zrážky a búrky).

Veľmi vysoké priemery atmosférických zrážok boli zaznamenané v roku 2010, kedy napršalo až 1255 mm (najviac od roku 1937 = 1015 mm).

V sezóne 2011 došlo naopak k výraznému poklesu množstva zrážok, ktoré dosiahli iba 656 mm (doposiaľ najnižšie úhrny zrážok pri monitoringu OAR v pôdnom vzduchu na RP, boli zaznamenané v roku 2003 = 573 mm). Záver roka 2011 sa dokonca stal jedným z najsučších období za ostatných viac ako 100 rokov.

Atmosférické zrážky na území Slovenska v sezóne 2012 boli prakticky na úrovni dlhodobého priemeru a dosiahli 747 mm, v roku 2013 potom 864 mm a v roku 2014 až 957 mm. Sezóna 2014 bola zároveň najteplejšou od roku 1881, kedy sa začalo so systematickými meraniami teplôt ovzdušia na našom území.

V roku 2015 došlo k pomerne výraznému poklesu zrážkových úhrnov, ktoré dosiahli 719 mm (98 % dlhodobého priemeru), ale v sezóne 2016 naopak k značnému nárastu až na 924 mm (124 % dlhodobého priemeru). Podľa hodnotenia SHMÚ bol rok 2016 „mimoriadne teplý a veľmi bohatý na atmosférické zrážky“.

V úvode a závere roka 2017 boli atmosférické zrážky nízke, čo bolo vykompenzované v letnom a jesennom období. Táto sezóna bola sice zrážkovo výrazne pod úrovňou predošlého roka, v priemere však bolo dosiahnutých 768 mm (108 % dlhodobého priemeru).

Aj v sezóne 2018 boli zrážky v úvode a závere roka nízke, ale počas neskorej jari až skorej jesene došlo k ich nárastu na ročný úhrn 673 mm, odpovedajúci 90 % dlhodobého priemeru.

V sezóne 2019 boli zrážky nadpriemerné (111% dlhodobého priemeru) a tento trend potvrdil aj rok 2020 s úhrnom zrážok 901 mm, čo predstavuje 117 % dlhodobého priemeru. Výrazné daždivý bol október 2020, kedy boli na území Slovenska zaznamenané rekordné úhrny zrážok s výskytom lokálnych povodní. Prehľad priemerných ročných zrážkových úhrnov pre územie SR za obdobie 2002 – 2020 uvádzame v tab. č. 6 (zdroj: [www.shmu.sk](http://www.shmu.sk)).

Všeobecne sa predpokladá, že pôdna vlhkosť „pozitívnym“ spôsobom ovplyvňuje koncentrácie radónu v pôdnom vzduchu, pretože vyššia vlhkosť pokryvných útvarov v oblasti monitorovaného objektu viac alebo menej účinne spomaľuje prenikanie radónu k povrchu a ďalej do ovzdušia. To vedie k nárastu jeho obsahov v pôdnom vzduchu a naopak – pri po-klese pôdnej vlhkosti spravidla klesajú aj hodnoty OAR.

Táto interakcia medzi OAR v pôdnom vzduchu a plynopriepustnosťou (vlhkosťou) miestnych zemín sa v sezóne 2020 na monitorovaných lokalitách prakticky neprejavila (trendy OAR<sub>3,Q</sub> 2020/2019 = 0,66 na RP Vajnory až 0,96 na RP Teplička; tab. č. 6). Výnimkou, po-tvrzujúcou doterajšiu skúsenosť, je iba RP Podlavice s trendom OAR<sub>3,Q</sub> 2020/2019 = 1,04.

Aj keď sa doterajšie zistenia nedajú v plnom rozsahu zovšeobecňovať, v sezónach (resp. dlhších obdobiah) s nízkymi atmosférickými zrážkami je možné očakávať viac alebo menej výrazný pokles obsahov pôdneho radónu.

Nejednoznačnou sa doposiaľ javí závislosť zvýšenia úrovne OAR v pôdnom vzduchu v sezónach s vysokými zrážkovými úhrnmi, ktorá bude vyžadovať dlhodobejšie sledovanie.

Sezónne variácie OAR v pôdnom vzduchu závisia nielen od vlhkosti (plynopriepustnosti) miestnych zemín a hornín, ale v nezanedbateľnom rozsahu aj od samotnej geologickej stavby a litologickej charakteristiky konkrétnej lokality. Z toho vyplýva, že aj pri rovnakých meteorologických podmienkach, ale v rôznom geologickom prostredí, nemusí byť charakter variácií zhodný. Tento poznatok je jedným z významných zistení pri sledovaní variácií OAR v pôdnom vzduchu v rámci predmetného projektu.

Príkladom toho sú výsledky monitoringu OAR v pôdnom vzduchu na objektoch v Novoveskej Hute (homogénne permné sedimenty strednej plynopriepustnosti) a RP Teplička (paleogénne sedimenty so strednou až nízkou plynopriepustnosťou, so zvýšeným podielom ílovitej frakcie). Lokality sú relatívne blízko seba (cca 5 km), približne v rovnakej klimatickej oblasti, ale s odlišným geologickým profilom, v ktorom je akumulácia a šírenie radónu sledované.

Obe tieto lokality boli v sezóne 2020 monitorované v ten istý deň (t.j. v zrovnateľných meteorologických podmienkach), ale výsledky meraní OAR v pôdnom vzduchu vykazujú odlišný priebeh. Dlhodobo sledovaný charakter variačných závislostí je tu však pozorova-teľný aj v uplynulej sezóne. Sú však pomerne výrazne skreslené variabilitou atmosférických zrážok.

Po zhodnotení výsledkov monitorovania OAR v pôdnom vzduchu za uplynulé sezóny (tab. č. 6) môžeme konštatovať, že na:

- **RP Hnilec** po doterajšom maxime  $OAR_{3,Q} \text{ 2008} = 712 \text{ kBq.m}^{-3}$  obsahy radónu v pôdnom vzduchu do roku 2013 vykazovali veľmi výrazný a systematický pokles až na úroveň  $OAR_{3,Q} \text{ 2013} = 255 \text{ kBq.m}^{-3}$ . V období 2016 a 2017 došlo k výraznému nárastu  $OAR_{3,Q}$  na  $407 \text{ kBq.m}^{-3}$  (rok 2016) resp.  $411 \text{ kBq.m}^{-3}$  (rok 2017). V sezóne 2018 nastal výrazný pokles na  $282 \text{ kBq.m}^{-3}$ , v roku 2019 nárast na  $416 \text{ kBq.m}^{-3}$  a v roku 2020 opäť pokles na  $375 \text{ kBq.m}^{-3}$ , čo je pomerne výrazne pod úrovňou dlhodobého priemera ( $OAR_{3,Q} \text{ 2002-2020} = 447 \text{ kBq.m}^{-3}$ ).
- **RP Novoveská Huta / RP Novoveská Huta II.** Od maxima  $OAR_{3,Q} \text{ 2006} = 113 \text{ kBq.m}^{-3}$  došlo postupne k poklesu obsahov pôdneho radónu až na  $OAR_{3,Q} \text{ 2013} = 35 \text{ kBq.m}^{-3}$ . V nasledujúcich troch rokoch obsahy pôdneho radónu vzrástli až na  $88 \text{ kBq.m}^{-3}$ , (rok 2016), ale v sezóne 2017 opäť poklesli na  $68 \text{ kBq.m}^{-3}$ . V sezóne 2018 opäť stúpli na  $82 \text{ kBq.m}^{-3}$  (RP Nov. Huta), resp.  $113 \text{ kBq.m}^{-3}$  (RP Nov. Huta II – iba dva monitoringu). V areáli **RP Novoveská Huta II** došlo v sezóne 2019 k nárastu  $OAR_{3,Q} \text{ 2019} = 122 \text{ kBq.m}^{-3}$  a v roku 2020 naopak k zreteľnému poklesu na  $89 \text{ kBq.m}^{-3}$ .
- **RP Teplička** od maxima  $OAR_{3,Q} \text{ 2005} = 92 \text{ kBq.m}^{-3}$  (okrem mimoriadne daždivého roka 2010) pozorujeme pokles koncentrácií radónu v pôde až na  $OAR_{3,Q} \text{ 2013} = 35 \text{ kBq.m}^{-3}$ . V sezónach 2014 až 2016 došlo k nárastu koncentrácií radónu v pôdnom vzduchu na  $74 \text{ kBq.m}^{-3}$  (2016), v roku 2017 ale poklesli na  $70 \text{ kBq.m}^{-3}$ . Ešte výraznejší pokles nastal v sezóne 2018 ( $47 \text{ kBq.m}^{-3}$ ), ale v roku 2019 sme registrovali nárast na  $72 \text{ kBq.m}^{-3}$ . V roku 2020 došlo k miernemu poklesu na úroveň  $69 \text{ kBq.m}^{-3}$ . Dlhodobý priemer  $OAR_{3,Q} \text{ 2002-2020} = 67 \text{ kBq.m}^{-3}$ .
- **RP Bratislava – Vajnory** z úrovne  $OAR_{3,Q} \text{ 2005} = 67 \text{ kBq.m}^{-3}$  (okrem roka 2010) došlo postupne k poklesu až na  $OAR_{3,Q} \text{ 2012} = 19 \text{ kBq.m}^{-3}$ . V sezónach 2015 – 2018 boli úrovne OAR pomerne vyrovnané ( $31 - 35 \text{ kBq.m}^{-3}$ ), ale v roku 2019 stúpli na  $44 \text{ kBq.m}^{-3}$ . V roku 2020 bol zaznamenaný výrazný pokles na hodnotu  $29 \text{ kBq.m}^{-3}$  pri dlhodobom priemere  $OAR_{3,Q} \text{ 2005-2020} = 42 \text{ kBq.m}^{-3}$ .
- **RP Banská Bystrica – Podlavice** z hodnoty  $OAR_{3,Q} \text{ 2005} = 118 \text{ kBq.m}^{-3}$  (s výnimkou sezóny 2010) došlo k poklesu až na  $OAR_{3,Q} \text{ 2012} = 24 \text{ kBq.m}^{-3}$ . V nasledujúcich troch monitorovacích obdobiac boli koncentrácie radónu v pôdnom vzduchu dosť stabilné a pohybovali sa v rozmedzí  $56 - 59 \text{ kBq.m}^{-3}$ . V sezóne 2016 hodnoty OAR výrazne stúpli až na  $100 \text{ kBq.m}^{-3}$ , ale v rokoch 2017 – 2018 poklesli na  $65 \text{ kBq.m}^{-3}$  (2017), resp. iba  $48 \text{ kBq.m}^{-3}$  (2018). V sezóne 2019 naopak výrazne narástli na  $74 \text{ kBq.m}^{-3}$  a mierny nárast na úroveň  $77 \text{ kBq.m}^{-3}$  registrujeme aj v sezóne 2020. Dlhodobý priemer  $OAR_{3,Q} \text{ 2005-2020} = 72 \text{ kBq.m}^{-3}$ .

- Hodnoty OAR<sub>3.Q</sub> v pôdnom vzduchu, zaznamenané v roku 2020, sú v porovnaní s dlhodobým priemerom prevažne znížené a pohybujú sa v rozmedzí od 70 % (RP Vajnory) po 106 % (RP Podlavice).

Výsledky monitorovania OAR v pôdnom vzduchu dlhodobo dokumentujú variabilitu jeho obsahov v pripovrchových častiach horninového prostredia v priebehu roka, ale aj v období viacerých monitorovaných sezón. Potvrdzuje sa pomerne významná závislosť úrovni OAR na meteorologických, resp. klimatických podmienkach, ale s nejednoznačným efektom na jednotlivých lokalitách, čo je zrejme aj dôsledkom ich odlišných štruktúrno-geologických a litologických charakteristík.

Merania OAR v pôdnom vzduchu nad tektonickou dislokáciou na lokalite **Dobrá Voda** jednoznačne potvrdzujú výskyt porušenej zóny, pozitívne ovplyvňujúcej transport radónu k povrchu z väčších hĺbok. Obsahy pôdneho radónu tu dosahujú anomálne hodnoty, rádovo prevyšujúce pozadie.

Po analýze výsledkov monitorovania OAR v podzemných vodách za uplynulé sezóny je možné konštatovať, že:

- **prameň Mária** (Malé Karpaty) má priemerný obsah radónu dlhodobo v pomerne úzkom rozmedzí (variabilita OAR<sub>2002-2020</sub> = 27 – 40 Bq.l<sup>-1</sup>), s dlhodobým priemerom 34 Bq.l<sup>-1</sup>.
- **prameň Zbojníčka** (Malé Karpaty) dosiahol priemernú ročnú úroveň OAR<sub>2020</sub> = 254 Bq.l<sup>-1</sup>, stredné hodnoty OAR<sub>2002-2020</sub> = 178 – 327 Bq.l<sup>-1</sup>, dlhodobý priemer za hodnotené obdobie dosiahol 267 Bq.l<sup>-1</sup>.
- **prameň Himligárka** (Malé Karpaty): v uplynulej sezóne dosiahol priemernú ročnú úroveň OAR<sub>2020</sub> = 191 Bq.l<sup>-1</sup> pri variabilite OAR<sub>2002-2020</sub> = 125 – 210 Bq.l<sup>-1</sup>, dlhodobý priemer je na úrovni 173 Bq.l<sup>-1</sup>.
- **prameň Boženy Němcovej** (Bacúch): v roku 2020 došlo k nárastu až na 300 Bq.l<sup>-1</sup>, priemerné ročne OAR<sub>2002-2020</sub> varírujú v pomerne širokom rozmedzí 222 – 344 Bq.l<sup>-1</sup>, dlhodobý priemer OAR<sub>2002-2019</sub> = 279 Bq.l<sup>-1</sup>.
- **prameň sv. Ondreja** (Spišské Podhradie): v roku 2020 tu dosiahla OAR úroveň 208 Bq.l<sup>-1</sup> (druhá najvyššia hodnota od sezóny 2002), variabilita OAR<sub>2002-2020</sub> = 137 – 222 Bq.l<sup>-1</sup>, dlhodobý priemer 182 Bq.l<sup>-1</sup>.
- **pramenisko Jašterčie** (Oravice): objekt vykazuje najvyššiu variabilitu OAR z monitorovaných zdrojov podzemných vôd (štandardná odchýlka  $\sigma_{2006-2020}$  = 198 Bq.l<sup>-1</sup>). Po výraznom poklese v roku 2019 (791 Bq.l<sup>-1</sup>) dosiahla v roku 2020 OAR druhú naj-

vyššiu hodnotu  $1211 \text{ Bq.l}^{-1}$ . Na tejto lokalite sú dosahované najvyššie známe OAR v prírodných podzemných vodách, priemerné ročné úrovne OAR<sub>2006-2020</sub> sa pohybujú v intervale  $536 - 1217 \text{ Bq.l}^{-1}$ , dlhodobý priemer je  $1066 \text{ Bq.l}^{-1}$ .

- na žiadnom z monitorovaných objektov nebola zistená korelačná závislosť medzi objemovou aktivitou radónu vo vode a výdatnosťou prameňa.
- obsahy radónu v podzemných vodách, zaznamenané v sezóne 2020, boli v porovnaní s dlhodobými priemermi prevažne zvýšené a pohybovali sa v rozmedzí 95 % (prameň Zbojníčka) až po 115 % (prameň Mária a výver Oravice).
- Variácie objemovej aktivity radónu v sledovaných zdrojoch podzemných vód majú skôr sezónny charakter a v priebehu monitorovania počas viacerých sezón vykazujú určitú vlnovú, resp. „sinusoidálnu“ pravidelnosť (obr. č. 6 a 7). Na rozdiel od pôdneho radónu nie sú natoľko ovplyvňované náhodnými javmi resp. zmenami v atmosfére a nie sú tak „citlivé“ na rôzne krátkodobé zmeny počasia (teplota, atmosférický tlak). Maximálne úrovne OAR v podzemných vodách sú zaznamenávané spravidla v zime, resp. na jar a minimálne hodnoty v letných a jesenných mesiacoch.

Z praktického hľadiska majú doposiaľ získané poznatky nezanedbateľný význam, pretože poukazujú napr. na možnosť podhodnotenia, resp. nadhodnotenia radónového rizika stavebného pozemku pri meraniach realizovaných za nevhodných meteorologických podmienok (obdobia s nízkymi alebo vysokými zrážkovými úhrnmi, výrazné teplotné rozdiely medzi atmosférou a pokryvnými sedimentmi – hlavne skoro na jar, neskoro na jeseň, prípadne v zime). Nevyhnutným sa javí aj dôkladné posúdenie geologického prostredia (hlavne vo zvrstvených sedimentoch so zvýšeným / vysokým podielom ílovitej frakcie, prítomnosť tektonických dislokácií a pod.) pri vyhodnocovaní výsledkov týchto meraní.

Zhodnotenie výsledkov monitorovania OAR v geologickom prostredí z roku 2020, ale aj z predchádzajúcich sezón, dokumentujú skutočnosť, že zmeny (variácie) jeho koncentrácií sú jednak pravidelné (sezónne), ale aj náhodné (miestne, časové, ...). Postupne získané a zhromažďované poznatky o variabilite obsahov radónu v horninovom prostredí a podzemných vodách, ich vyhodnotenie, spracovanie a sprístupnenie výsledkov monitoringu prostredníctvom sofistikovaných informačných systémov ŠGÚDŠ, sú jednoznačne prínosom pre možnosť objektívnejšieho hodnotenia radónového rizika z geologického prostredia.

Hodnovernejšie výsledky je možné získať zhodnotením dlhodobo realizovaných monitorovacích systémov, výstupy ktorých môžu dávať relevantné podklady pre prijímanie obecnejších záverov v danej oblasti. Tento zámer sleduje aj realizácia predmetného projektu.

## 5. LITERATÚRA

- Barnet, I., Kulajta, V., Neznal, M., Matolín, M., Prokop, P., 1992: Hodnocení základových půd z hlediska vnikání radonu do bytů, Geologický průzkum 4, str. 114-115
- Cabáneková, H., Nikodemová, D., 2013: Usmerňovanie ožiarenie obyvateľstva radónom v pobytových priestoroch, Slovenská zdravotnícka univerzita, Bratislava
- Čížek, P., Gluch, A., Smolárová, H., 2001: Atlas geofyzikálnych máp a profilov; textová príloha D 3 – prírodná rádioaktivita, Geofond Bratislava
- Smolárová, H., 2001: Monitoring objemovej aktivity radónu v geologickom prostredí na území SR, záverečná správa za obdobie 1993 – 2000, archív ŠGÚDŠ
- Smolárová, H., 2002: Monitorovanie radónu v geologickom prostredí. In: Geologické práce, správy 106, ŠGÚDŠ Bratislava, str. 139-145, archív ŠGÚDŠ
- Klukanová, A., Iglárová, L., Wagner, P., Hrašna, M., Cipciar, A., Frankovská, J., Mikita, S., Bajtoš, P., Smolárová, H., Gluch, A., Vlčko, J., Bodíš, D., Ondrášik, M., Ondrejka, P., Liščák, P., Pauditš, P., Petro, L., Dananaj, I., Hagara, R., Moczo, P., Labák, P., Kristeková, M., Ferianc, D., Vanko, J., Kováčiková, M., Záhorová, E., Matys, M., Gajdoš, V., Masarovičová, M., Slávik, I., Vybíral, V., Rapant, S., Greif, V., Brček, M., Kordík, J., Slaninka, I., 2011: Čiastkový monitorovací systém – geologické faktory, správa za obdobie 2002 – 2009, čiastková záverečná správa. MŽP SR, ŠGÚDŠ, Bratislava
- Zákon NR SR č. 88/2018 Z.z. o radiačnej ochrane a o zmene a doplnení niektorých zákonov
- Vyhláška Ministerstva zdravotníctva SR č. 98/2018 o podrobnostiach o obmedzovaní ožiarenia pracovníkov a obyvateľov z prírodných zdrojov ionizujúceho žiarenia
- Zákon NR SR č. 355/2007 Z.z. o ochrane, podpore a rozvoji verejného zdravia a o zmene a doplnení niektorých zákonov, archív ŠGÚDŠ